

Vysoká škola strojní a textilní v Liberci  
nositeľka Řadu práce

Fakulta strojní

Odbor 23-07-8

strojárenská technológia

zameranie

strojárenská metalurgia

Katedra materiálov a strojárenskej metalurgie

IZOTERMICKÉ ŽÍHANIE VÝKOVKOV Z CEMENTAČNEJ OCELE  
ČSN 16 231 A JEHO VPLIV NA ŠTRUKTÚRU

Dušan Jankovič

DP-ST-1581/80

Vedúci práce: Ing. Jiří Horyna, CSc /VŠST Liberec/

Konsultant: Ing. Ladislav Sádecký /Považské strojárne,  
konecrnový podnik  
Považská Bystrica/

Rozsah práce a príloh

Počet strán: 69

Počet príloh

a tabuľiek: 2

Počet obrázkov: 29

Liberec, 14. 5. 1980

RRH 04

Vysoká škola:

Katedra:

Fakulta:

Školní rok:

## DIPLOMOVÝ ÚKOL

pro

obor

Protože jste splnil.... požadavky učebního plánu, zadává Vám vedoucí katedry ve smyslu směrnic ministerstva školství a kultury o státních závěrečných zkouškách tento diplomový úkol:

Název tématu:

### Pokyny pro vypracování:

- 1. • Uzápis na diplomový úkol je povinen být proveden v souladu s učebním plánem.
- 2. • Uzápis na diplomový úkol je povinen být proveden v souladu s požadavkami vedoucího katedry.
- 3. • Uzápis na diplomový úkol je povinen být proveden v souladu s požadavkami ředitelství Vysoké školy.

Autorské právo se řídí směrnicí  
o úkolu pro státní záv. zkoušky č.j. 3  
77/62-II/2 ze dne 13. července  
1962. Věstník MŠK XVIII, sešit 24 z  
dne 31.8.1962 § 19 aut.z. č. 115/53 Sb.

**VYSOKÁ ŠKOLA STROJNÍ A TEXTILNÍ**  
**Ustřední knihovna**  
**LÍSEK 1, STUDENTSKÁ**  
**FSC 461 17**

Vysoká škola: strojní a textilní  
v Liberci

Katedra: materiálu a strojírenské  
metalurgie

Fakulta: strojní

Školní rok: 1979/80

## DIPLOMOVÝ ÚKOL

Dušan J A N K O V I Č

pro

obor

: strojírenská technologie

Protože jste splnil..... požadavky učebního plánu, zadává Vám vedoucí katedry ve smyslu směrnic ministerstva školství a kultury o státních závěrečných zkouškách tento diplomový úkol:

Název tématu: Izotermické žíhání výkovků z cementační oceli  
ČSN 16 231 a jeho vliv na strukturu

### Pokyny pro vypracování:

1. Porovnání způsobů žíhání výkovků.
2. Návrh zkoušek izotermického žíhání pro porovnání obrobitevnosti a návrh zařízení pro použití tohoto procesu.
3. Rozbory jednotlivých zkoušek, metalografické šetření a porovnání obrobitevnosti.
4. Zhodnocení výsledků a návrh na širší realizaci.

Autorské právo se řídí směrnicemi  
MŠK pro státní záv. zkoušky č.j. 3  
727/62-III/2 ze dne 13. července  
1962. Věstník MŠK XVIII, sešit 24 z  
dne 31.8.1962 § 19 aut.z č. 115/53 Sb.

V 36 | 1980 S

VYSOKÁ ŠKOLA STROJNÍ A TEXTILNÍ  
Ústřední knihovna  
LIBEREC 1, STUDENTSKÁ 5  
PSČ 461 17

Rozsah grafických laboratorních prací:

Rozsah průvodní zprávy: 40 - 50 stran

Seznam odborné literatury:

- Ing. K. Švejda: Výzkum tepelného zpracování ocele ČSN 14 220 z hlediska dosažení optimální obrobitevnosti  
Výzkumná zpráva SVÚM Praha, listopad 1970
- Paur - Skočovský: Konstrukční materiály
- Budaj - Bekeš: Taoretické základy obrábění kovů, ALFA, Bratislava 1977
- Svec: Řezné nástroje, ITP, Praha 1966
- Výzkumná zpráva - SVÚM Praga, srpen 1975 č. 2-75-3345
- Wünnig: Verfahrenstechnik des Isotermolumens, fy Aichelin 1976
- Kalinin, Tihconov: Termičeskaja obrabotka na volžskom avtomobilnom zavode, č. 9, 1973

Vedoucí diplomové práce: Ing. Jiří Horyna, CSc

Konsultanti: Ing. Ladislav Sádecký, Povážské strojárnen. p.

Datum zahájení diplomové práce: 8.10.1979

Datum odevzdání diplomové práce: 23.5.1980

Doc. Ing. Václav Chaloupecký, CSc

Vedoucí katedry



Doc. RNDr, Bohuslav Stříž, CSc

Děkan

v

Liberci

dne

5.10.

1979





Miestopráisačné prehlásenie

Miestopráisačne prehlasujem, že som diplomovú prácu  
vypracoval samostatne s použitím uvedenej literatúry.

V Liberci dňa 14. 5. 1980

Dusan Janšanec

## ZOZNAM POUŽITÝCH ZNAČIEK

$C_v$	- konšanta závislosti $T - v$	
$D$	- stredný polomer zrna	/nm/
$e$	- základ prirodzeného logaritmu	
$\Delta G$	- volná entalpia preskoku	/J.kg <sup>-1</sup> /
$\Delta H_A$	- aktivačná entalpia preskoku	/J.kg <sup>-1</sup> /
$h$	- Planckova konštanta	/kg.m <sup>2</sup> .s <sup>-1</sup> /
$k$	- Boltzmanova konštanta	/J.K <sup>-1</sup> /
$K_v$	- relativná kinetická obrobiteľnosť	
$K_{vo}$	- koeficient obrobiteľnosti pôvodného mat.	
$K_{vz}$	- koeficient obrobiteľnosti nového materiálu	
$m$	- konštanta úmernosti	
$n$	- otáčky pri obrábaní	/ot.min <sup>-1</sup> /
$N_{cl}$	- celkové náklady pre stávajúcu technológiu	/Kčs.rok <sup>-1</sup> /
$N_{c2}$	- celkové náklady pre novú technológiu	/Kčs.rok <sup>-1</sup> /
$N_{I1}$	- investičné náklady na zariadenie stávajúce	/Kčs.rok <sup>-1</sup> /
$N_{I2}$	- investičné náklady novej technológie	/Kčs.rok <sup>-1</sup> /
$N_{m1}$	- mzdové náklady na stávajúce zariadenie	/Kčs.rok <sup>-1</sup> /
$N_{m2}$	- mzdové náklady na novú technológiu	/Kčs.rok <sup>-1</sup> /
$N_{pl}$	- prevádzkové náklady na stávajúce zariadenie	/Kčs.rok <sup>-1</sup> /
$N_{p2}$	- prevádzkové náklady na novú technológiu	/Kčs.rok <sup>-1</sup> /
$N_{r2}$	- režijné náklady pre novú technológiu	/Kčs.rok <sup>-1</sup> /
$N_{s2}$	- náklady na sociálne dávky pre novú technológiu	/Kčs.rok <sup>-1</sup> /
$R$	- polomer zakrivenia hranice zrna	/mm/
$r_o$	- stredný polomer častice	/nm/
$\Delta S_A$	- aktivačná energia	/J.kg <sup>-1</sup> .K <sup>-1</sup> /
$s$	- posuv	/mm/
$T$	- trvanlivosť nástroja	/min/
$T$	- absolutná teplota	
$U_1$	- úspory nákladov za rok pre TS	/Kčs.rok <sup>-1</sup> /
$U_2$	- úspora na náradí za rok	/Kčs.rok <sup>-1</sup> /
$V$	- molárny objem kovu	/m <sup>3</sup> .mol <sup>-1</sup> /
$v$	- rýchlosť migrácie	/m.sec <sup>-1</sup> /
$v$	- rezná rýchlosť	/m.min <sup>-1</sup> /
$\lambda$	- stredná dráha preskoku častice z jednej strany hranice na druhú	/nm/
$\varphi$	- objemový podiel časti cudzej fázy	/m <sup>3</sup> /
$\sigma$	- povrchová energia hranice zrna	/J.kg <sup>-1</sup> /

## O B S A H

1.	ÚVOD	str. 1
2.	VPLYV IZOTERMICKÉHO ŽÍHANIA NA ŠTRUKTÚRU OCELE 16 231	5
2.1	Základná charakteristika ocele 16 231	5
2.2	Štruktúra ocele 16 231 vzhľadom na TS	6
2.3	Technika izotermického žíhania	11
2.4	Použitie zariadení pre izotermické žíhanie	13
2.5	Dostupné výsledky izotermického žíhania z literatúry	19
3.	PRAKTICKÉ SKUŠKY NA SKÚŠOBNÝCH VZORKÁCH	28
3.1	Výber skúšobných vzoriek pre sledovanie štruktúry a obrabiteľnosti	28
3.2	Návrh skúšok tepelného spracovania	28
3.3	Návrh metodiky skúšok obrabiteľnosti	30
3.4	Skúšky tepelného spracovania	32
3.4.1	Chemický rozbor	33
3.4.2	Metalografické šetrenie základného materiálu	33
3.4.3	Tvrdosť základného materiálu	33
3.4.4	Tepelné spracovanie	33
3.4.5	Tvrdosti tepelne spracovaných vzoriek	35
3.4.6	Štruktúra tepelne spracovaných vzoriek	37
3.5	Skúšky obrabiteľnosti	45
4.	EKONOMICKÉ VYHODNOTENIE NAVRHOVANEJ TECHNOLOGIE	64
4.1	Úspory pri tepelnom spracovaní	64
4.1.1	Náklady na žíhanie výkovkov - deossal používaný spôsob	65
4.1.2	Náklady na izotermické žíhanie - navrhovaný spôsob	65
4.2	Úspora na náradí	66
4.3	Celková úspora	67
5.	ZÁVER	68

## 1. ÚVOD

Vedecké - technická revolúcia a z nej vyplývajúci prudký rozvoj strojárskej výroby kladie stále rastúce nároky na technickú úroveň výrobkov, ich kvalitu, životnosť a hospodárslosť. Tieto zásady potvrdil v svojich záverečných XV. zjazd KSČ, ktorý vyzdvihol de popredia najmä prepojenie jednotlivých etáp technického rozvoja a skrátenie doby na realizáciu vedeckých a vývojových prác.

Veľmi výraznou súčasťou výroby je výroba náradia, na ktoré sa kladú stále zvyšujúce sa nároky, najmä čo sa týka životnosti a trvanlivosti náradia v závislosti na získaní optimálnej kvality vyrábaných súčiastok.

Podel náradia na cene výrobku neustále rastie, zvlášť pri zavádzaní nových druhov strojov, ktoré pracujú s veľkými výkonomi.

V tejto práci sa z nástrojov budem zapodievať najmä reznými nástrojmi, ktorých životnosť sa snažím zvyšovať zlepšením obrabiteľnosti materiálov. Rezné nástroje majú vo výrobe veľký význam, lebo sú neodmysliteľnou súčasťou sústavy stroj - nástroj - obrubok. Prendávajú v tejto sústave užitočné prácu obrábacieho stroja, v čom je vidieť ich najväčší poločenský význam, lebo sa podielajú na tvorbe nadhodnoty. Toto sa veľmi zvýrazní pri hromadnej výrobe, kedy sa prejaví každé zlepšenie podmienok obrábania.

Hodnotenie obrabiteľnosti je možné previesť z rôznych hľadišiek, avšak tento pohľad je dôležitý najmä z pohľadu tepelného spracovania.

Pred mechanickým opracovaním sa všetky za studena a zatepla tvárnene súčiastky z ocele, pre zlepšenie obrabiteľnosti, žihajú. Stav materiálu sa definuje podľa spôsobu tepel-

ného spracovania, rozsahu pevnosti, druhu materiálu a triedy obrobiteľnosti.

Tepelné spracovanie pre zlepšenie obrobiteľnosti sa delí na :

- normalizáciu
- žíhanie k shrubmutiu zrnu
- sušlachtenie
- žíhanie na mäkkos
- izotermické žíhanie.

Nakoľko z predchádzajúceho vidieť, že spôsobov tepelného spracovania je veľa, preto pre spôsob tepelného spracovania je nutné zvažovať nasledovné hladiská:

1. Chemické zležanie súčiastky
2. Spôsob výroby ocele a polotovaru /odliatok, výkovok, vývalok a iné/.
3. Obrábacie operácie nasledujúce po tepelnom spracovaní /sústruženie, frézovanie a preťahovanie/.

Chemické zloženie ovplyvňuje s daným tepelným spracovaním požadovanú štruktúru a tým i mechanické vlastnosti. Toto je možné pozorovať priamo, kde mena prísladového prvku mení obrobiteľnosť, či už prísladový prvek vytvára tuhé roztoky alebo karbidy, prípadne posúva hranice oblasti premeny a má vplyv i na rýchlosť premeny. Zvyšovaním obsahu legúry sa môžu dosiahnuť i spačné výsledky.

Proces výroby ocele má podstatný vplyv na obsah zbytkových prvkov a to predovšetkým na obsah síry, fosforu, kyslíka a dusíka. Počas tavenia a desoxidácie dochádza k tvorbe vmesťkov nezávisle na riadení procesu, ktorých množstvo a počet závisí na obsahu legujúcich prvkov a ocel sprevádzajúcich elementov. Spôsob desoxidácie ovplyvňuje i veľkosť austen-

nitického zrna a určuje teplotu prehu hrubnutia tohto zrna. Vplyv má i tuhnutie ocele. Anizotermické tuhnutie v kokile spôsobuje, že počas tuhnutia dôjde v objeme ingotu k makrovycedovaniu a v objeme dentridov k vzniku mikrovycedovania. Je možné zaznamenať, najmä u veľkých ingotov, rozdiel v chemickom zložení ako i rozdiel v mechanických hodnotách a obrobiteľnosti. Vycedoviny vytvárajú pri tvárnemi a tepelnom spracovaní chemickú nerovnorodosť, ktorá sa prejaví pri posúrovani štruktúry ako riadkovitosť /7/.

Ak je v technologickom procese zaradená obrábacia operácia až po konečnom tepelnom spracovaní, tak vlastnosti súčiastky sú predpísané a obrábanie sa musí prispôsobiť tomuto stavu. V tom prípade ak tepelné spracovanie je zaradené po skončení obrábania, je možné pred obrábanie zaradiť vhodný druh ťahania a tým získať pre obrábanie priaživú štruktúru. Prvý zo spomínaných prípadov sa deje u ocelí používaných v zušľachtenom stave a druhý sa používa u konštrukčných a nástrejových ocelí, kde sa vyžaduje vyššia tvrdosť. Do tejto oblasti spadá väčšia časť ocelí, ale najmä ocele pre výrobu ložísk, k cementovaniu, rýchloremenné ocele a časť nástrejových ocelí.

Prvoradou úlohou pri výbere tepelného spracovania z hľadiska obrábania je spôsob obrábania, ktorý určuje požiadavky na optimálnu štruktúru pred obrábaním.

Pri obrábaní vyššími reznými rýchlosťami /sústruženie/, kedy sa požaduje maximálny výkon bez prílišného ohľadu na kvalitu povrchu. Pokial sa jedná o obrábanie nižšími reznými rýchlosťami, aké sa používajú pri frézovaní, pretahovaní a obrážaní, tak vo väčšine prípadov sa hodnotí i kvalita opracovanej plochy. Zvlášt sa táto požiadavka uplatňuje u pretahovaných otvorov, kedy pretahovanie vzhľadom na zložitosť tvarov je konečnou operáciou. V tomto prípade tepelné spracovanie musí zabezpečiť takú štruktúru, ktorá zabezpečuje akost-

ný povrch obrábaného dieľa s prijateľnou životnosťou nástroja /7/.

Pokiaľ sa jedná o výber ocelí pre izotermické žíhanie, je situácia zaujímavá u ocelí pre automobilový priemysel, kde sa najviac používajú cementačné ocele, nakoľko sa jedná o prenos značných síl pri rôznych spôsoboch namáhania súčiastok /krut, chyb, otlačenie a iné/. V tejto oblasti je splnená i požiadavka na veľké sériu, kde sa dá využiť linkové usporiadanie zariadení pre tepelné spracovanie.

Proces izotermického žíhania pozostáva z vhodne volenej austenitizácie a nasledovného rýchleho ochladenia do perlitickej oblasti, kde výdržou na tejto teplote prebehne izotermický rozpad podchladeného austenitu. Po tejto výdrži nasleduje ochlodenie na voľnom vzduchu na teplotu okolia /1/.

Snahou krátkodobej austenitizácie je vznik nehomogéneho austenitu s obsahom súčasťov nerospustných karbidických fáz, ktoré pôsobia ako kryštalačné zárodky pri perlitickej premene. Takyto austenit má kratšiu inkubačnú dobu a transformuje na globulárnu perlitickú štruktúru /1/.

Jemnosť perlitickej štruktúry závisí na teplote rozpadu, pričom vyššie teploty dávajú hrubší zrnitý perlit. So znižujúcou sa teplotou rozpadu rastie disperznosť štruktúry za zvyšovania tvrdosti.

Veľkou prednosťou izotermického žíhania je možnosť riadenia procesu podľa požiadaviek na výslednú štruktúru.

Izotermické žíhanie sa uplatňuje najmä u legovaných ocelí a nahradza žíhanie na mäkkoo, ktoré vyžaduje veľmi dlhé doby výdrže pri pomalom ochladzovaní.

## 2. VPLYV IZOTERMICKÉHO ŽÍHANIA NA ŠTRUKTÚRU OCEĽE 16 231

### 2.1 Základná charakteristika oceľe

Ocel 16 231 je chrómnicklová ocel určená k cementácii s nasledovným obsahom prvkov:

C = 0,19 - 0,24 %

Mn = 0,70 - 1,00 %

Si = 0,17 - 0,37 %

Cr = 0,80 - 1,10 %

Ni = 1,30 - 1,60 %

P = max. 0,035 %

S = max. 0,035 %

Vyrába sa tavením v elektrických obleúkových alebo Martinových peciach s desoxidáciou hliníkom.

Dodáva sa v tvare predvalkov /podla ČSN 42 5114 a ČSN 42 5121/, tyčí /ČSN 42 5515 a ČSN 42 5519/ a výkovkov kovaných za tepla. V stave 16 231.3 /žíhané na mäkkos/ dosahuje maximálnu tvrlosť 217 HB a v stave 16.231.4 je minimálna hranica tvrdeosti 300 HB.

Teplota premien:  $A_{c1}$  - asi  $725^{\circ}\text{C}$   
 $A_{c3}$  - asi  $785^{\circ}\text{C}$

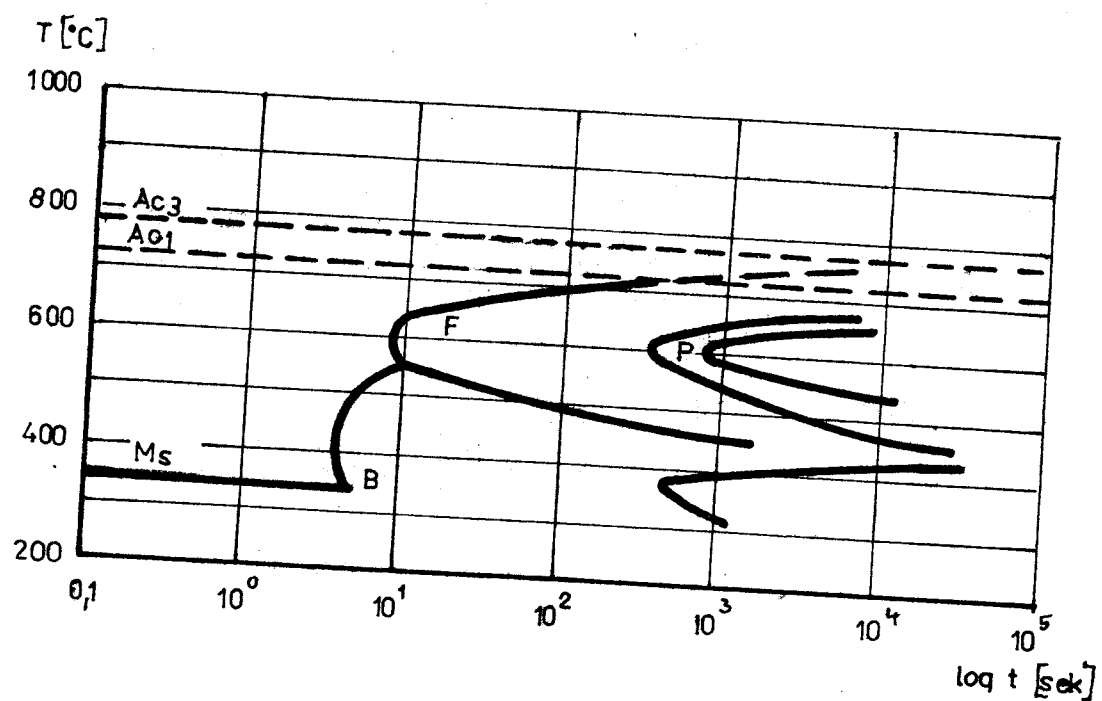
Teplota Ms asi  $360^{\circ}\text{C}$

Ocel je dobre tvárniteľná za tepla a v žíhanom stave dobre obrabiteľná. Je vhodná pre veľmi namáhané strojné súčiastky s cementovaným povrchom a s vysokou pevnosťou jadra. Ak sa vykádzajú hladké plochy je požadovaná pevnosť materiálu 700 - 900 MPa. Ocel pri obrábaní má sklon k vzniku zvarov a nástrojom, ktoré značne ovplyvňujú skorosť povrchu.

## 2.2 Štruktúra ocele 16 231 vzhľadom na tepelné spracovanie

Pri tepelnom spracovaní ocele 16 231 je nutné uvažovať s predĺžením inkubačnej doby premeny austenitu v perlitickej oblasti, pretože pre obrábanie podeutektoidných cementačných ocelí sa sa najvhodnejšiu štruktúru považuje diferencovaná, bez riadková, feriticko - perlitská štruktúra. Prechod z mäkkých /feritových/ a tvrdších /perlitolých/ časti štruktúry vedie k hladkým povrchom s krátkymi trieskami. Najvhodnejšou pevnosťou sa javí pevnosť 550 - 650 MPa. Riadkové usporiadanie feritu v podeutektoidných oceliach vzniká ako následok nevyhnutných segregácií a pôsobí nepriaznivo na kvalitu povrchu, hlavne pri pozdišnom opracovaní.

Kritická rýchlosť ochladzovania je tak nízka, že u výrobkov s menšou hrúbkou steny môže dôjsť pri ochladzovaní na vzdchu k vytvoreniu bainitu alebo martensitu, vedla feritu a perlitu. Stanovenie teplotnej oblasti, maximálnej rýchlosťi je možné previesť buď pomocou skúšok alebo podľa diagramu pre izotermický rozpad austenitu. Takýto diagram pre ocel 16 231 je uvedený na obr. 1. Podľa tohto diagramu sa začína tvorba feritu a premena v bainitickej oblasti veľmi rýchlo, zatiaľ čo pre tvorbu perlitu sú nutné dlhšie časy. Najvyššiu rýchlosť premeny je možné dosiahnuť pri teplote okolo  $620^{\circ}\text{C}$ . Ideálny prípad čistého izotermického spracovania je možný len pri malých dielecoch. Pri tepelnom spracovaní väčších kusov sa musí predpokladať, že pri ochladzovaní na teplotu premeny dochádza k vylučovaniu feritu. Perlit získaný izotermickým žíhaním je lamelárny, táto štruktúra je požadovaná. Preto, aby vznikol lamelárny perlit je nutná dostatočne vysoká austenitizačná teplota, ktorá umožní úplnú homogenizáciu. Volba austenitizačnej teploty sa riadi požadovanou veľkosťou zrna. Veľkosť zrana primovo vplyva na obrubiteľnosť, preto sa



Obr. č. 1 Diagram izotermického rozpadu austenitu  
ocelle ČSN 16 231

väčšinou požaduje pre zlepšenie obrobiteľnosti hrubozrnná feriticko - perlitická štruktúra. Táto štruktúra aj snížuje feritickú riedkovitosť. /7/

Jemnozrnné cementačné ocele majú teplotný rozsah pre tvorbu rovnomerných hrubých srín vysoko nad teplotou premeny a pohybuje sa nad teplotou  $950^{\circ}\text{C}$  /8/. Je nutné pri získaní hrubozrnnnej štruktúry vyvarovať sa teplotnej oblasti, ktorá umožňuje vznik smiešaného srna /7/. Táto oblasť nie je u každej tavby rovnaká a je veľmi závislá na veľkosti prírodného srna /vzniká v liatom stave/. Deliacou hranicou u ocelí desoxidovanych hliníkom je obsah Al = 0,015 %.

K týmto výsledkom sa možno dopracovať i teoreticky na základe výsledkov Ewinga, Rosenhaima, Benedicksa a Bragga, ktorí uvádzajú, že hnacou silou rastu srín je rozdiel voľnej povrchovej entalpie hromíc srín, ktoré sú v polykryštalickej matrici vädy zakrivené.

K fyzikálnemu popisu migrácie hranice srín sa použije teória aktivovaného komplexu, kde rýchlosť migrácie hranice srna je priamo úmerná frekvencii preskoku častic cez zakrivenú hranicu srna. Túto závislosť je možné vyjadriť rovnicou:

$$v = e \cdot \frac{k \cdot T}{h} \cdot \lambda \cdot \frac{\Delta G}{RT} \exp\left(\frac{\Delta S_A}{R}\right) \cdot \exp\left(-\frac{\Delta H_A}{RT}\right) \quad (1)$$

Voľná entalpia preskoku  $\Delta G_A$  je podľa Burkeho a Turbula daná rovnicou:

$$\Delta G = \text{konšt. } \cdot \sigma V \cdot \frac{1}{r} \quad (2)$$

Po dosadení (2) do (1) dostaneme:

$$v = e \cdot \frac{k \cdot T}{h} \cdot \lambda \cdot \text{konšt. } \cdot \sigma \cdot V \cdot \frac{1}{r} \cdot \frac{1}{RT} \cdot \exp\left(\frac{\Delta S_A}{R}\right) \cdot \exp\left(-\frac{\Delta H_A}{RT}\right) \quad (3)$$

Z tejto rovnice, ktorá predstavuje konkrétny fyzikálny popis migrácie zrna, sú zrejme základné zákonitosti tohto deje. Je vidieť, že rýchlosť migrácie sa zmenšuje so zväčšujúcim sa polomerom zakrivenia hranice zrna. Pretože stredný polomer zakrivenia je v prvom približení úmerný priemeru zrna platí, že rýchlosť migrácie sa musí zmenšovať so zväčšujúcou sa strednou veľkosťou zrna. Napríklad pri izotermickom raste má za následok, že rýchlosť rastu zrín sa časom zmenšuje. Beck a spol. sa pokúsili odvodiť časovú závislosť izotermického rastu zrín na základe približenia, keď polomer zakrivenia hranice je približne rovný strednému polomeru zrna  $D$ . Rýchlosť migrácie  $\frac{dD}{dt}$  je daná:

$$\frac{dD}{dt} = \text{konšt.} \cdot \frac{1}{D}, \quad (4)$$

kde po integrácii dostaneme pre časovú závislosť rastu zrín parabolický vzťah:

$$D^2 - D_0^2 = \text{konšt.} \cdot t \quad (5)$$

Pretože experimentálne bolo dokázané Beckom, Barkom a Millerom, že u kovov a zliatin túto rovnica nevyhovuje, tak ju nahradili vzťahom:

$$D^2 - D_0^2 = \text{konšt.} \cdot t^n, \quad (6)$$

kde " $n$ " má hodnotu menšiu ako 1 a u rôznych zliatin sa podstatne rozlišuje.

Z rovnice (3) je vidieť, že migrácia závisí na povrchovej energii hranice, ktorú však v polykryštáloch považujeme za konštantnú. Rovnica (3) tiež poukazuje na závislosť rýchlosťi migrácie od strednej dráhy preskoku. U polykryštálov stredná dráha preskoku mení disorientáciu už len málo, takže

túto veličinu možno považovať za stálu. Teplotná závislosť rýchlosťi migrácie je daná teplotným členom:

$$\exp \left( - \frac{\Delta Q_A}{RT} \right),$$

kde na teplote závisí len povrchová energia, ktorej zmena s teplotou je malá a nepresahuje teplotný koeficient 0,08% . grad.<sup>-1</sup>. Teda teplotné zmeny povrchovej energie je možné zanedbať.

Podľa Zenerovej teórie brzdia migráciu hraníc zrín aj disperzné častice a to silou:

$$P = \frac{3 \cdot \rho}{4 r_0} \quad (7)$$

Volná entalpia migrácie zrín a tým aj jej rýchlosť sa zmenšuje a to tým viac, čím je v matrici väčší objemový po diel cudzích častic a čím menší je ich stredný polomer – teda, čím sú disperznejšie.

Migrácia sa pri určitom množstve častic môže zastaviť úplne, pokiaľ sa brzdiaci účinok disperzných častic vyrovná rozdielom volnej povrchovej entalpie konkavnej a konvexnej strany hranice /6/.

U ocelí využívame pre zaručenie jemnozrnnosti disperzných karbidov alebo nitridov. Z karbidov sa používajú karbidy niobu, titanu a vanádu. Z nitridov najmä disperzny nitrid hliníka, ktorý sa tvorí pri dezoxidácii ocele hliníkom.

Disperzné častice bránia rastu austenitického zrna len potiaľ, kým vplyvom vysokých teplôt nedôjde k ich rozpusteniu. Disperzny nitrid hliníka udržuje jemné zrno do teplôt až 1 020°C a to v závislosti na obsahu kovového hliníka v matrici a na aktivite dusíka v kove /6/.

Po prekročení uvedených teplôt bude i pôvodne jemnokrúdá oceľ vykazovať v celom objeme zhrublé zrno. Jemnokrúdosť a hrubozrnnosť sa u cementačnej ocele určuje cementačnou metódou pri presne stanovených podmienkach podľa ČSN 42 0463.

Konečné sekundárne zrno sa vytvorí pri ochladzovaní a rozumie sa ním veľkosť sŕn feritu a perlitu po devŕšení premeny v austenitickej oblasti.

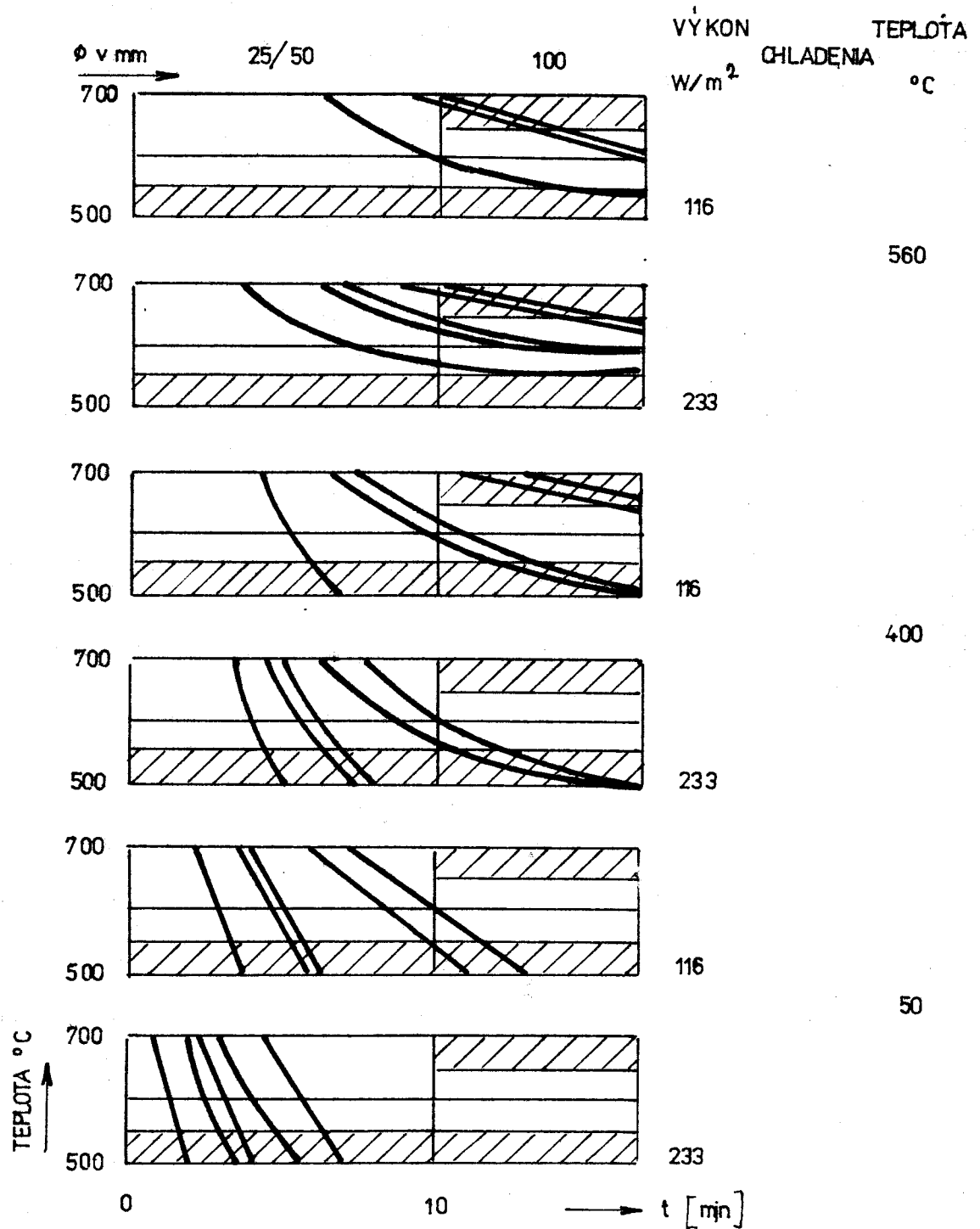
### 2.3 Technika izotermického ťíhania

Izotermické ťíhanie sa od ostatných technológií ťíhania odlišuje najmä v tom, že tepelný spád medzi austenitizáciou a premenou na perlit má prebiehať veľmi rýchlo, ale bez podchladenia. Priebeh tohto medziochladenia závisí od troch veličín:

- od rozmeru súčiastky
- od koeficientu prechodu tepla
- od rozdielu medzi teplotou austenitizácie  $t_A$  a teplotou chladiaceho média alebo okolia  $t_K$ .

Pre tyčovú oceľ s priemerom "d" je ochladenie vypočítané a znázornené na obr. č. 2 /8/. Teplota austenitizácie je  $950^{\circ}\text{C}$  bez ohľadu na teplotu premeny. Z dvojitych čiar platí dolná pre teplotu povrchu a horná pre teplotu jadra, takže sa dajú speznať rozdiely teplôt v súčiastke. Medzi ťrafenými oblasťami nad  $650^{\circ}\text{C}$  a 10 minutami /tvorenie riadkov/ a pod  $550^{\circ}\text{C}$  /medzistupeň/ zostáva úsek, do ktorého majú ústie krivky teploty.

Podchladeniu sa dá zabrániť tým, že sa teplota chladiaceho média nastaví na  $550^{\circ}\text{C}$  - podľa prvej časti obrázku. Ako je vidno, i pri tejto vysokej hodnote ochladzovania klesne teplota súčiastok de 10 minút pod  $650^{\circ}\text{C}$  len de  $\varnothing 70$  mm.



Obr. 2 Priebeh chladnutia valcovych ocelovych súčiastok v oblasti perlitu

Metóda má tú výhodu, že premena môže prebehnúť v chladiacej komore bez nebezpečia vytvorenia medzistupňov, ale je ohmedzená len do malých priemerov.

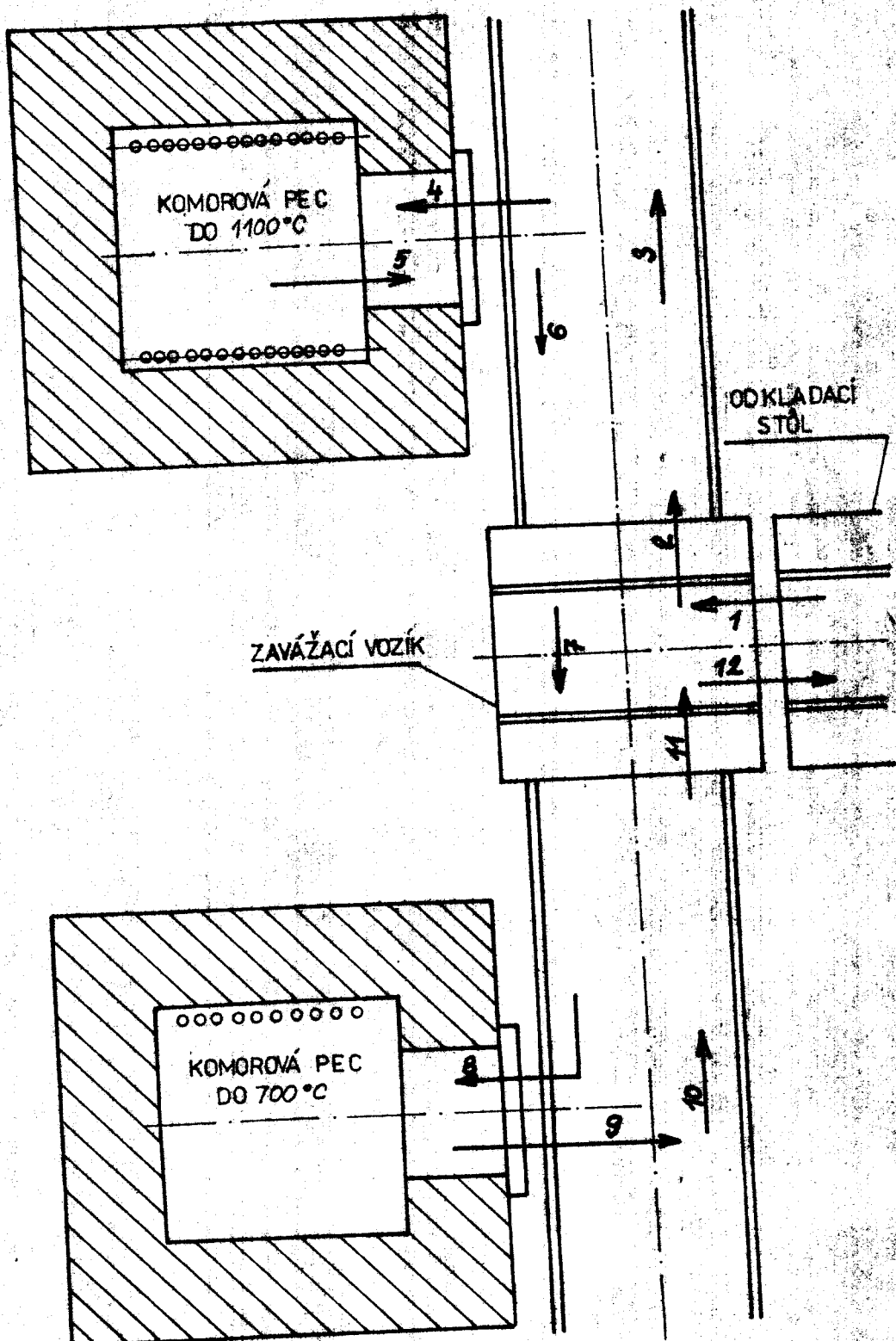
S teplotou chladiaceho média  $400^{\circ}\text{C}$  podľa strednej časti obrázku sa dá ochladzovať rýchlejšie, ale proces vzhľadom na priemer sa musí v určitom čase prerušiť, ak nemá dôjsť k podchladeniu. Žíhaný materiál sa musí v tomto prípade roztriediť podľa priemerov na skupiny a mimo toho je treba súčiastky rovnomerne zavážať, aby prechod tepla vo všetkých súčiastkach bol rovnaký.

Tieto pravidlá sú ešte výraznejšie pre teplotu chladacieho prostredia  $50^{\circ}\text{C}$  /v dolnej časti obrázku/. Prakticky sa dá použiť len u drôtu, tyčinov, rúrok, plechu alebo súčiastok s malými rozdielmi prierezov.

#### 2.4 Použitie zariadení pre izotermické žíhanie

Zariadenia pre izotermické žíhanie sa vyberá podľa druhu žíhaného materiálu a podľa priebežného výkonu zariadenia. Pri hrúbkach steny nad  $100\text{ mm}$  sa izotermické žíhanie nedá použiť, pretože dochádza k vzniku feritových riadkov /8/.

Pre kusový materiál a žíhacie výkony do  $500\text{ kg} \cdot \text{ hod}^{-1}$  sa používajú komorové pece so zavážacím vozíkom na obr. 3, kde pece stojia vedľa seba. Jedna sa udržuje na austenitickej teplote a druhá na teplote izotermickej premeny. Zavážaci vozík obsluhuje obidve pece. Tiež sa dá použiť dvojkomorová pec, vyrábaná fy Degussa, kde jedna komora je chránená na vysokú teplotu s ochrannou atmosférou proti oduhlíčeniu a druhá je bez ochranej atmosféry pre teplotu izotermickej premeny. Výhodou zariadenia je predkomora, kde je inštalovaný

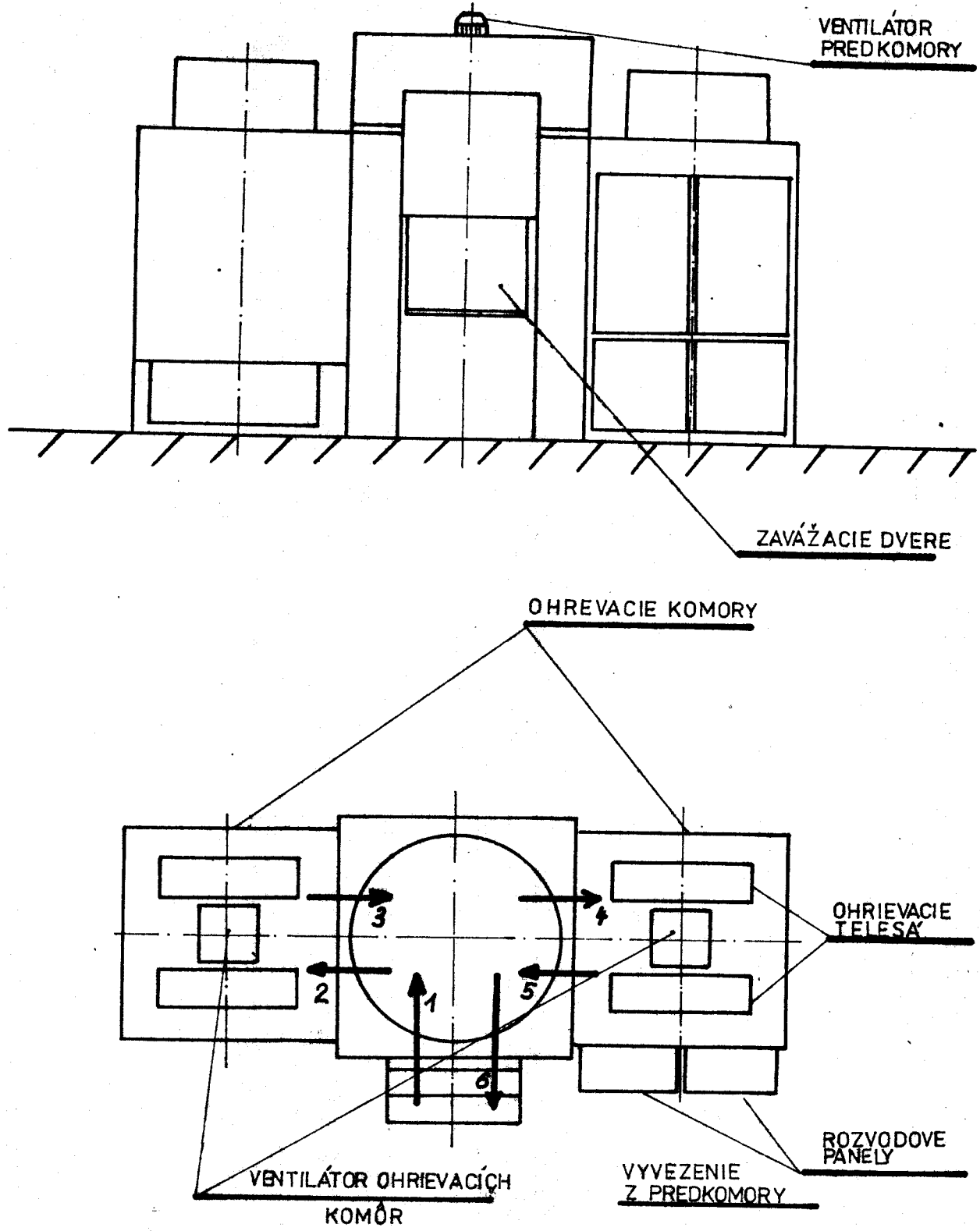


Obr. č. 3 Isotermické kínanie v dvoch komorových peciach so naďlaciaim vozíkom

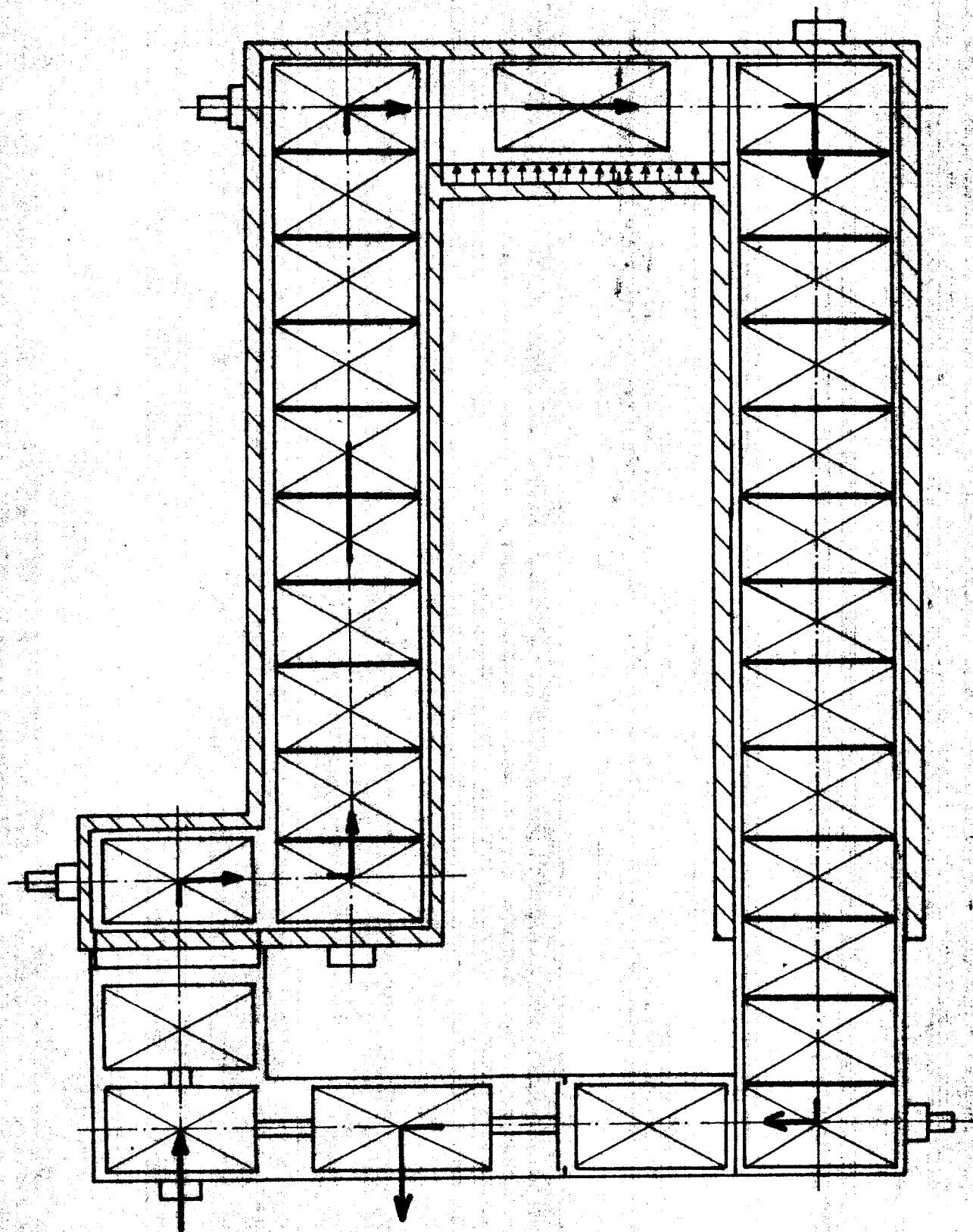
ventilátor a pri tomto spôsobe môže dojst' k regulácii ochladzovania. Proces prebieha bez prístupu vzduchu a zariadenie umožňuje plnú automatizáciu. Pec je znázornená na obr. 4 /10/.

Pre výkony 500 - 1 500 kg.hod<sup>-1</sup> predstavujú najhospodárnejšie zariadenia priebežné linky, akou je narážacia pec na obr. 5 /11/ vyrábaná fy Aichelin alebo narážacia linka vyrobená v n.p. ZEZ Praha, prototyp tohto zariadenia je uvedený na obr. 6 /9/. Ohrievacia pec je typu NNC 9.4/70-110 s nakladacím stolkom a chladiacim tunelom typu QOB 9.4/10. Zariadenie je stavané pre výkon o hmotnosti 900 kg.hod<sup>-1</sup> vyžihanej vsádzky. Vzhľadom na to, že zariadenie bolo zakúpené do n.p. Považské strojárne pre izotermické žíhanie výkovkov prevodoviek, uvádzam k tejto linke popis jednotlivých častí linky.

Linka je zložená z ohrievacej pece, chladiaceho tunela, priebežnej valčekovej pece pre izotermickú výdrž s častočným ochladzovaním vsádzky. Ohrievacia pec na austenitizačnú teplotu pracuje pri vyhrievacom príkone 398 kW, pri menovitej teplote 1 100°C. Súčiastky sa majú ukladať na rošty, ktorých posuv je regulovateľný v rozmedzí 6 - 8 cm.s<sup>-1</sup>, pri možnej dobe zavážania 5 - 15 minút. Chladiaci tunnel nadvázuje na výstup ohrievacej pece a slúži k rýchlemu ochladeniu vsádzky na udržiavaciu teplotu. Je vybavený retazou včítane zapínacieho a vypínacieho zariadenia pre vyberanie dopravných roštov z vyhrievacieho priestoru, zavezenia do chladiacej časti a ďalšieho vyvezenia na valčekovú dráhu, ktorá je spojená rýchloposuvom s udržiavacou pecou. Chladiaca časť tunelu je tepelne izolovaná. Ochladzovanie vsádzky zabezpečujú dva ventilátory typu RNC. Rýchlosť a intenzitu chladenia je možné regulovať vypínaním ventilátora.



Obr. 4 Dvojkomorová pec pre izotermické žíhanie



Obr. 5 Isotermické ťihanie v priebežnej linke  
firma Aichelin

Priebežná valčeková pec slúži k udržiavaniu vaádzky na teplote izotermickej premeny a je typu VNB 9.4/90-70. Do tejto pce prichádzajú dopravné rošty z podávacieho chladiaceho tunela. Pec má cirkuláciu vzduchu a teploty zabezpečenú pomocou 8 ventilátorov. Regulácia teploty je zaistená pomocou dvojitych termoelektrických teplomerov umiestnených vo vynímateľných vložkách. Na konci pce sa nachádza chladiaca časť, kde sa vaádzka čiastočne ochladí z teploty izotermickej premeny a tote ochladzovanie je regulovateľné.

Podľa uvedeného pokusu sa jedná o zariadenie, kde spôsob ochladzovania je z teploty austenitizácie zabezpečovaný prúdením vzduchu od ventilátorov. Pokial by sa jednalo o ukladanie materiálu len v jednej vrstve stačí použiť chladenie sálanim, pričom vzdialenosť stredov súčiastok má byť asi  $2d$ , aby čo možno najväčšia časť povrchu sa nachádzala vo vzájomnom sálani s chladiacimi plochami. Toto riešenie sa vzhľadom na malé využitie zariadenia dá použiť len pri skúškach na vzorkách, lebo k lepšiemu využitiu pce je treba súčiastky ukladať na seba. Pri tomto stohovaní súčiastok je nutné vypracovať šaržovaci plán a tento musí obsluha do držiavať, pričom k zostaveniu plánu sa musíme riadať pravidlom, že sa naraz nachádzajú len rovnaké súčiastky, prípadne s minimálnymi rozdielmi v hrúbke steny. Je nutné zabezpečiť pri stohovaní súčiastok určitú teplotu ochladzovacieho vzduchu, aby pri okrajoch medošlo k prílišnému podchladneniu. Toto sa zabezpečí ak teplota recirkulačného plynu sa pohybuje v rozmedzí teplôt  $400 - 550^{\circ}\text{C}$  /8/.

## 2.5 Dostupné výsledky izotermického žíhania z literatúry

Podľa údajov A. T. Kalinina a A. K. Tichonova uvedených v Metallovedeníi i termičeskoj obrabotke metallov /12/, je izotermické žíhanie s úspechom zavedené vo VAZ-e, kde umož-

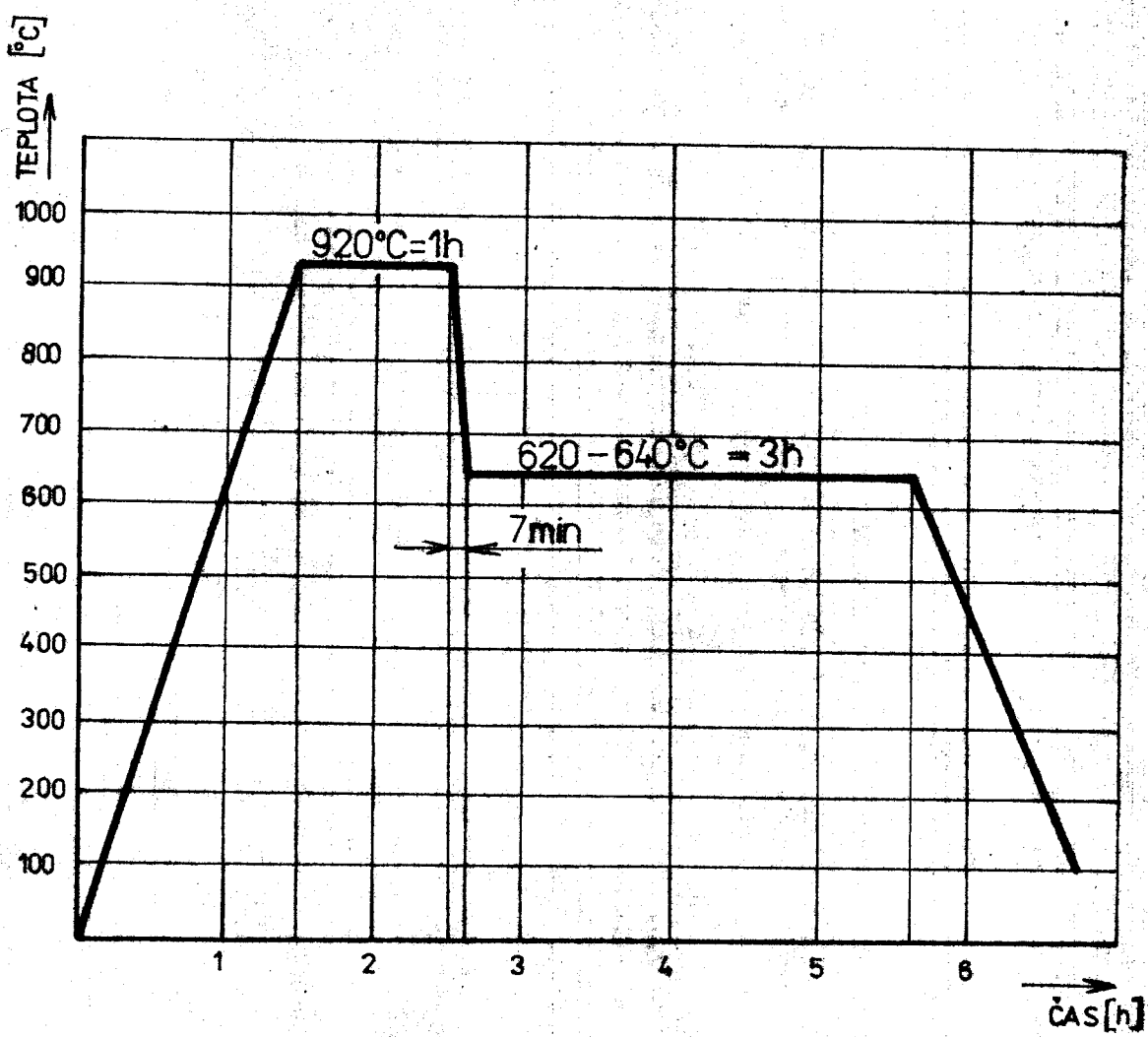
nuje značne zvýšiť rýchlosť obrábania pri mechanickom opracovaní so súčasným zlepšením čistoty povrchu a zmenšením deformácií pri konečnom tepelnom spracovaní. Diagram teplota - čas je znázornený na obr. 7. Proces sa uskutočňuje v pecných narážacích agregátoch fy Stein et Roubaix /Francúzko/. Každý agregát pozostáva z ohrievacej pece pre ohrev na teplotu austenitizácie  $920 - 940^{\circ}\text{C}$ , komory rýchleho ochladenia a pece pre izotermickú výdrž pri  $600 - 640^{\circ}\text{C}$ . Rýchle ochlodenie výkovkov po austenitizácii na teplotu izotermickej výdrže sa prevádzka vzduchom vyhriatym na  $350^{\circ}\text{C}$  pri jeho intenzívnej cirkulácii v stenách chladiacej komory. Rovnomernosť ohrevu a ochladzovania po priebehu vsádzky sa zabezpečuje malou hmotnosťou vsádzky na jeden prípravok, ktorá býva v priemere asi 120 kg. Výkon aggregátu je  $2\ 000 \text{ kg.hod}^{-1}$ . Po izotermickom žíhaní sa výkovky čistia otriskávaním. Dosahovaná tvrdosť cementačných ocelí je 187 - 202 HB.

V prospektovom materiáli fy Aichelin - výrobcu pecných zariadení z Rakúska /8/ - sa doporučuje na izotermické žíhanie použiť jednokomorové pece, dvojkomorové pecné zariadenia a linky s narážacou pecou. Po zvážení všetkých ekonomických ukazovateľov je doporučené žíhať /teplota austenitizácie/ pri  $950^{\circ}\text{C}$ . Teplotu izotermickej premeny doporučujú  $650^{\circ}\text{C}$  pre ocele chromnicklové, chrommangánové, ktoré odpovedajú našich oceliam 16 231, 16 220, 14 220.

Izotermickým žíhaním ocele 14 220 sa v rámci štátnej výskumnnej úlohy Z - 70 - 2 400 zaoberal aj SVÚM Praha, ktorý obšírne zhodnotil dostupné podklady od zahraničných autorov a porovnal technológiu rôznych spôsobov žíhania vzhľadom na obrobiteľnosť pri rôznych rýchlosťach  $80 \text{ m.min}^{-1}$ ,  $160 \text{ m.min}^{-1}$  /sústruženie/,  $30 \text{ m.min}^{-1}$  /frézovanie/ a  $3$  až  $15 \text{ m.min}^{-1}$  /preťahovanie/.

Zo spôsobov žíhania sa porovnávali nasledovné druhy:

- a/ normalizačné žíhanie
- b/ zušľachtovanie
- c/ vysoké žíhanie
- d/ žíhanie na mäkkko
- e/ izotermické žíhanie



Obr. 7 Isotermické lámanie výkovkov vo VAZE /ZSSR/

## Izotermické žíhanie

Pre skúšky boli vyhotovené vzorky podľa obr. 8. Austenitizácia bola prevedená v elektrickej komorovej peci a izotermická výdrž v solnej peci. Ochladzovanie z teploty izotermickej premeny prebiehalo na veľnom vzduchu.

Teploty austenitizácie:  $880^{\circ}\text{C}$ ,  $950^{\circ}\text{C}$ ,  $1\ 000^{\circ}\text{C}$ ,  $1\ 050^{\circ}\text{C}$ ,  
 $1\ 200^{\circ}\text{C}$ .

Doba na teplote austenitizácie: 1 hodina.

Zakladanie priamo na izotermickú teplotu  $650^{\circ}\text{C}$  s výdržou  
1 hodina.

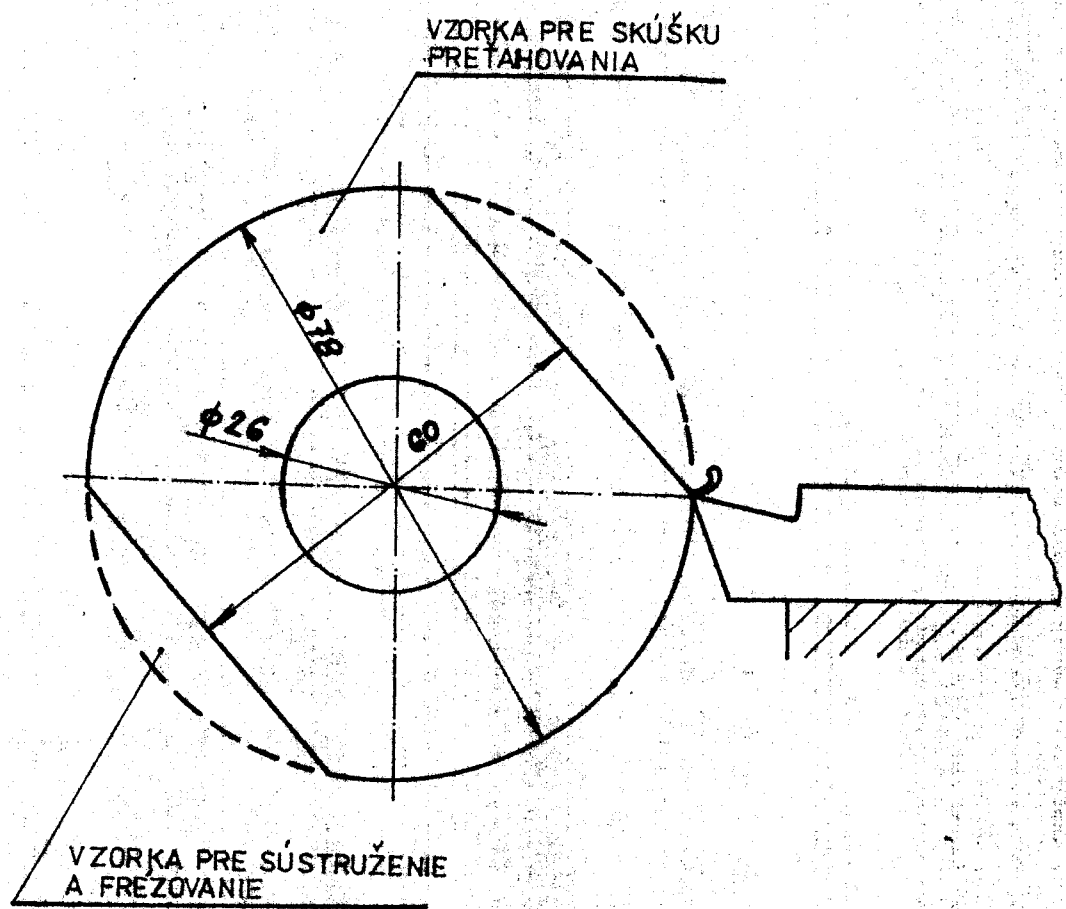
Z výsledkov je zaujímavé uviesť, že opäťovne do teploty  $950^{\circ}\text{C}$  sa nezmenila veľkosť austenitického zrna a štruktúra bola zložená z feritu a perlitu, ktorý bol jemný, lamelárny.

Nad teplotu  $1\ 000^{\circ}\text{C}$  vznikali zrná veľkosti 5 - 6 podľa ASTM, so zväčšovaním podielu globulárneho perlitu vznikajúceho v dôsledku rozpadu lamelárneho perlitu. Do  $1\ 050^{\circ}\text{C}$  je veľkosť zrna v štruktúre rozdielna a k vyrovnaniu veľkosti dôjde až po prekročení tejto teploty. Pri ďalších teplotách už nedochádza počas doby výdrže k zmene veľkosti oproti teplote  $1\ 050^{\circ}\text{C}$ . Úplný globulárny perlit sa nedosiahol ani pri  $1\ 200^{\circ}\text{C}$ .

Výdržou 4 hodiny na teplote izotermickej premeny sa nedosiahlo rozdielov tvrdosti a taktiež nemajú vplyv na tvrdosť ani rozdiely v teplote austenitizácie.

Čiastočný vplyv na tvrdosť má teplota izotermickej premeny, kde pri teplotách  $600^{\circ}\text{C}$  bola namenaná tvrdosť 183 HV a pri  $700^{\circ}\text{C}$  namenaná tvrdosť 204 HV.

- Metalegrafické hodnotenie ukázalo nasledovné výsledky:
1. Do prahovej teploty hrubnutia austenitického zrna bola pri teplotach izotermickej premeny  $600$  a  $700^{\circ}\text{C}$  zaznamenaná štruktúra feriticko-perlitická veľkosti zrna č.8



Obr. 8 Vzorky pre skúšky obrabiteľnosti vo výčere

- podľa ASTM. Pri teplote  $700^{\circ}\text{C}$  už bol zaznamenaný výskyt riadkovitosti a čiastočný rozpad lamelárneho perlitu.
2. Pri teplote  $1\ 050^{\circ}\text{C}$  sa tvorí hrubozařaná štruktúra, kde pri teplote izotermickej premeny bol zaznamenaný výskyt feritu vo forme sietovia a veľkosť zrín ohrazených sietovím je rovný č. 2 až 3 podľa ASTM. Pri  $700^{\circ}\text{C}$  sa vyskytovala feriticko - perlická štruktúra veľmi shrubnutá, silne riadkovitá, so značným množstvom lístkovej štruktúry.
  3. Predĺženie izotermickej výdrže neprinieslo zmeny v štrukture.

Dalšími skúškami sa potvrdilo, že riadkovitosť pri teplote  $700^{\circ}\text{C}$  sa dá odstrániť podchlodením z austenitickej teplity na  $500^{\circ}\text{C}$  a izotermickú výdrž vykonávať pri teplote  $700^{\circ}\text{C}$ .

Skušky obrabiteľnosti boli vykonávané vo VÚOSO Praha so účelom hodnotenia i ďalších vlastností, ako je tvorenie nálepov na brite sústružnickeho noža /napodobenie preťahovania/. Výsledky získané z týchto skúšok sú nasledovné:

1. Poradie použitých spôsobov tepelného spracovania hodnotených posledným sústružením pri reznej rýchlosťi  $80 - 160 \text{ mm} \cdot \text{min}^{-1}$  s doštičkou S2, pesuve  $s = 0,313 \text{ mm} \cdot \text{ot}^{-1}$  hĺbke rezu  $t = 2 \text{ mm}$  a kritériu trvanlivosti - opotrebenie chrbta noža  $a_h = 0,2 \text{ mm}$ , je nasledovne:
  - a/ 1 hodina na  $1\ 200^{\circ}\text{C}$   
ochladenie na  $600^{\circ}\text{C}$   
izotermická výdrž 2 hodiny na  $600^{\circ}\text{C}$   
chladnutie na vzduchu
  - b/ 1 hodina na  $900^{\circ}\text{C}$   
vybratie na vzduch - normalizácia
  - c/ 1 hodina na  $900^{\circ}\text{C}$   
chladnutie v peci
2. Ďalším kritériom tepelného spracovania bolo hodnotenie frézovanie orubenia na sústružených vzorkách pri parameetroch:

$v = 30 \text{ m} \cdot \text{min}^{-1}$  - odvalovacia fréza  
 $s = 1,32 \text{ mm} \cdot \text{ot}^{-1}$

frézovanie ozubeného kolesa s modulom  $m = 3$

počet zubov  $z = 28$   
šírka  $b = 25 \text{ mm}$

$\varnothing$  odvalovacej frézy 80 mm

Obrobiteľnosť bola hodnotená opotrebením chrbta  $a_h$  frézy a dranostou obrábaného povrchu, po 25 a 50 kusoch, charakterizovaná priemernou hodnotou  $R_a$ .

Poradie najvhodnejších spôsobov tepelného spracovania je nasledovné:

- a/ 1  $200^\circ\text{C}$  ochladzovať v peci - vysoké žíhanie
- b/  $900^\circ\text{C}$  ochladzovať v peci - vysoké žíhanie
- c/ 1  $050^\circ\text{C}$  vybrať na vzduch - normalizačné žíhanie
- d/ 1  $050^\circ\text{C}$  ochladzovať v peci - vysoké žíhanie
- e/ 1  $200^\circ\text{C}$  podchladniť na vzduchu a izotermická výdrž pri  $600^\circ\text{C}$ .

Výsledné hodnotenie tohto spôsobu obrábania je v tom, že pri frézovaní ozubenia nie je možné dosiahnuť nízke opotrebenie nástrojov a zabezpečiť najlepšiu kvalitu povrchu. Pri výrobe je nutné voliť kompromis a používať dranosť po frézovaní 3,2 až 6,4 kde nasledujú ďalšie ševingovacie operácie pred konečným tepelným spracovaním alebo brúsne operácie po tepelnom spracovaní.

3. Posledným hodnotením metód tepelného spracovania je sústruženie vzoriek podľa obr. 8 pri rýchlosťach 3 až  $15 \text{ m} \cdot \text{min}^{-1}$ , čo je metóda blízka preťahovaniu. Hodnotené bolo množstvo vzniknutých nálepor na ostri nástroja pri súčasnom sledovaní dranosti povrchu. Sledovanie množstva nálepor sa zhodovalo so zmenou dranosti povrchu a výsledok podľa vhodnosti tepelného spracovania je nasledovný:

a/ 1 hodina na 1  $200^\circ\text{C}$

vybranie na vzduch

izotermická výdrž na teplote  $600^\circ\text{C}$  počas dvoch hodín

- b/ 1 hodina na 1  $200^{\circ}\text{C}$   
ochladenie v peci
- c/ 1 hodina na 1  $050^{\circ}\text{C}$   
preloženie do soli  $650^{\circ}\text{C}$  na dve hodiny
- d/ najhoršie sú vzorky sušlachtené a žíhané na mäkkro.

Podľa autorov je poradie vhodnosti postupov tepelného spracovania pre všetky druhy obrábania s hodnotením podľa kvality povrchu nasledovné:

1. 1 hodina na 1  $200^{\circ}\text{C}$  s chladnutím na vzduchu  
a izotermickou výdržou  $600^{\circ}\text{C}/1$  hodina
2. 1 hodina na 1  $050^{\circ}\text{C}$  s chladnutím na vzduchu  
a izotermickou výdržou  $700^{\circ}\text{C}/1$  hodina
3. 1 hodina na 1  $050^{\circ}\text{C}$  s chladnutím na vzduchu  
a izotermickou výdržou  $600^{\circ}\text{C}/1$  hodina.

Ak by sa súčiastky vyrábali z cementačných ocelí delili na použité operácie, tak je doporučené používať nasledovné tepelné spracovanie:

1. Pre rezné rýchlosťi  $80 \text{ m} \cdot \text{min}^{-1}$  použiť normalizáciu alebo žíhanie s chladnutím v peci.
2. Pre rezné rýchlosťi  $180 \text{ m} \cdot \text{min}^{-1}$  používať normalizáciu alebo sušlachťovanie.
3. Pre obidve rezné rýchlosťi používať normalizáciu vysokej žíhanie s chladnutím v peci alebo izotermické žíhanie a austenitizáciu pri 1  $200^{\circ}\text{C}$  a teplotou izotermickej premeny  $600^{\circ}\text{C}$ .
4. Pre frézovanie pri rýchlosťiach  $30 \text{ m} \cdot \text{min}^{-1}$  použiť žíhanie s chladnutím v peci alebo normalizáciu.
- Pokiaľ sa vyžaduje kvalita povrchu, použiť sušlachťovanie.
5. Pre pretahovanie, kde je rozhodujúca drenosť povrchu, pri rýchlosťiach 3 až  $15 \text{ m} \cdot \text{min}^{-1}$ , použiť izotermické žíhanie a vysoké žíhanie s hrubošernými štruktúrami.

Z uvedených dostupných údajov vychádza, že problematika volby vhodného tepelného spracovania pre zvýšenie životnosti

náradia pri dosiahnutí požadovanej kvality povrchu nie je jednoduchá a podnik saberajúci sa výrobou súčiastok z cementačných ocelí je nútený sa ľahou dôsledne zapodievať, pričom musí brať do úvahy i ekonomické ukazovatele, ktoré so zvyšujúcou sa teplotou austenitizácie sú nepriaznivejšie.

V hromadnej výrobe predpokladám rozdeliť súčiastky podľa spôsobov obrábania a potom zabezpečiť nasledovné operácie tepelného spracovania pre zlepšenie obrobiteľnosti:

1. Normalizačné žíhanie - ak u súčiastky prevládajú sústružnicke operácie.
2. Zušľachťovanie - ak u súčiastky prevládajú frézarské operácie.
3. Izotermické žíhanie - ak je zaraďaná operácia preťahovanie, prípadne iná obrábecia operácia konečná pred tepelným spracovaním.

### 3. PRAKТИCKÉ SKÚŠKY NA SKÚŠOBNÝCH VZORKÁCH

#### 3.1 Výber skúšobných vzoriek pre sledovanie štruktúry a obrobiteľnosti

Skúšobné vzorky pre izotermické žíhanie a ďalšie druhy žíhania, ktoré sa majú použiť pre vyhodnotenie štruktúry, tvrdosti ako i pre skúšky obrobiteľnosti, sa musia v prvom rade navrhovať takého tvaru, aby vyhovovali pre skúšky obrobiteľnosti, ale priemer /hrúbka/ musí zodpovedať diagrame na obr. 2, aby mohlo dôjsť k rýchlemu ochladeniu z austenitizačnej teploty bez vylúčenia feritu vo forme riadkov, alebo aby nevznikal bainit, prípadne martenzit.

Predpokladá sa skúšky obrobiteľnosti prevádzkou skrátenou, aby sa v prípade priaznivých výsledkov mohli použiť prehodnotenie kvality izotermického žíhania v podmienkach prevádzky. V tomto prípade a po zvážení všetkých ukazovateľov volím rozmerы vzoriek:

Ø 20 x 50 mm.

Po prevedení tepelného spracovania som odobral časť vzorkov pre skúšky štruktúry a meranie tvrdosti. Zvyšok som použil pre skúšky obrobiteľnosti.

#### 3.2 Návrh skúšok tepelného spracovania

Z dospelial uvedených výsledkov z praktickej prevádzky zariadení na izotermické žíhanie v sovietskom závode na výrobu automobilov VAZ ako i odporúčaní výrobcu pecných zariadení Aichelin z Rakúska a prihliadnutím k výsledkom skúšok v SVÚM a VÚOSO Praha, je nutné zoberať sa nasledovnými spôsobmi žíhania:

1. spôsob

- teplota austenitizácie  $950^{\circ}\text{C}$ /1 hodina
- ochladenie na volnom vzduchu na  $400^{\circ}\text{C}$
- založenie do pece na  $650^{\circ}\text{C}$
- výdrž na teplote  $650^{\circ}\text{C}$  - 1 hodina

- ochladenie na voľnom vzduchu

2. spôsob

- teplota austenitizácie  $950^{\circ}\text{C}$ /1 hodina
- ochladenie na voľnom vzduchu na  $600^{\circ}\text{C}$
- založenie do pece na  $600^{\circ}\text{C}$
- výdrž na teplote  $650^{\circ}\text{C}$  - 1 hodina
- ochladnutie na voľnom vzduchu

3. spôsob

- teplota austenitizácie  $950^{\circ}\text{C}$ /1 hodina
- priame preloženie do pece na  $650^{\circ}\text{C}$
- výdrž na teplote  $650^{\circ}\text{C}$  - 1 hodina
- ochladnutie na voľnom vzduchu

4. spôsob

- teplota austenitizácie  $1050^{\circ}\text{C}$ /1 hodina
- ochladenie na voľnom vzduchu 10 minút - teplota min.  $600^{\circ}\text{C}$
- založenie do pece  $650^{\circ}\text{C}$
- výdrž na teplote  $650^{\circ}\text{C}$  - 1 hodina
- ochladnutie na voľnom vzduchu

5. spôsob

- teplota austenitizácie  $1200^{\circ}\text{C}$ /1 hodina
- ochladenie na voľnom vzduchu 10 minút - teplota min.  $600^{\circ}\text{C}$
- založenie do pece na  $650^{\circ}\text{C}$
- výdrž na teplote  $650^{\circ}\text{C}$  - 1 hodina
- ochladnutie na voľnom vzduchu

6. spôsob

- teplota austenitizácie  $1200^{\circ}\text{C}$ /1 hodina
- ochladzovanie prúdom vzduchu 10 minút
- založenie do pece na  $650^{\circ}\text{C}$
- výdrž v peci  $650^{\circ}\text{C}$  - 1 hodina
- ochladenie na voľnom vzduchu

Vzorky spracúvať v komorovej peci s ochladením na vzduchu.

Vzorky sa nebudú zabezpečovať proti oxidácii ani proti oduhlíčeniu povrchu, nakoľko v technologickom postupe spracovania súčiastok sa počíta s dosťatočne veľkým prí-  
davkom na opracovanie. Pred vlastnými skúškami odsústru-  
žíme z čela 1 mm. Na vzorkách vykonávame nasledovné šetre-  
nia:

- a/ chemický rozbor - vzorky sú z rovnakej stavby
- b/ skúšky tvrdosti, hodnotenie pred a po tepelnom spraco-  
vaní
- c/ hodnotenie mikroštruktúry v priečnom i pozdišnom reze
- d/ skrátené skúšky obrabiteľnosti

### 3.3 Návrh metodiky skúšok obrabiteľnosti

Pod pojmom obrabiteľnosť materiálov rozumieme súhrn vlastností obrábaného materiálu a to ako mechanických, tak fyzikálnych, chemických a metalografických v závislosti na kvalitatívnych a ekonomických výsledkov procesu rezania. Dôležitý je i spôsob obrábania, použitý druh nástrojového materiálu, tuhost stroja a geometria nástroja /2/.

Dôležitým faktorom obrabiteľnosti je hlavne jej rozp-  
tyl, ktorý je jedným z limitujúcich faktorov hospodárnosti pružného systému. Široké pásmo rozptylu viedie k zbytečnému zmäkčovaniu rezávych podmienok a tým i zníženiu hospodárnosti. Rozptyl obrabiteľnosti je podobne ako obrabiteľnosť funkciou štruktúrnych mechanických vlastností obrábaného materiálu a technologických podmienok rezávho procesu /4/.

Metódy pre hodnotenie obrabiteľnosti možno deliť na:

- a/ Kinetická obrabiteľnosť
- b/ dynamická obrabiteľnosť
- c/ podla deformácie a tvaru triesky
- d/ podla drsnosti povrchu

Z týchto druhov, ktoré možno považovať za základné, sú pre hodnotenie tepelného spracovania najzaujímavejšie skúšky krátkodobé. Zameriavam sa najmä na kinetickú skúšku obrobiteľnosti, ktorú navrhujem realizovať podľa nasledujúceho postupu:

Kinetická obrobiteľnosť sa určuje z hľadiska reznej rýchlosťi pre nože z rýchloresnej ocele metódeu čelného sústruženia.

Metóda spočíva v sústružení čela obrobku od stredu k obvodu. Hôľ sa otupí na určitom dostatočne veľkom polomeru  $R_n$ . Pri rôznych otáčkach sa určia polomery  $R_n$  a výsledky sa vynesú do diagramu  $R_n - n$  / v logaritmických súradničach/. Ze sklonu získanej priamy sa určí exponent pre závislosť  $T - v$ . Jeho výpočet je nasledovný:

$$m = \frac{\operatorname{tg} \alpha + 1}{\operatorname{tg} \alpha - 1} \quad (8)$$

Konštantu závislosti  $T - v$  určime zo vzorca:

$$c_v = v_n \sqrt[m]{\frac{R_n}{s.n. (m+1)}} \quad (9)$$

Aby sa získali spoloahlivé výsledky, musí byť rozsah otáčok veľký:

$$\frac{n_{\max}}{n_{\min}} = 8 \text{ až } 10 \quad (10)$$

Zo skúšok možno napísať závislosť trvanlivosti od reznej rýchlosťi:

$$v \cdot T^{\frac{1}{m}} = c_v \quad (11)$$

Relatívna kinetická obrobiteľnosť materiálu potom bude:

$$K_v = \frac{v_T}{v_{Te}} = \frac{c_v}{c_{ve}} \cdot T^{1/m} - 1/m \quad (12)$$

Index "e" znamená hodnoty etalonového materiálu. Pokiaľ by exponenty "m" boli rovnaké pre etalonový a skúšaný materiál, tak relativná kinetická obrobiteľnosť bude:

$$K_v = \frac{c_v}{c_{ve}} \quad (13)$$

Táto metóda nie je vhodná pre nože s doštičkami zo spekaných karbidov alebo z keramického rezného materiálu, lebo otupenie sa najvýraznejšie prejaví u rýchloreznej ocele, prípadne iných nástrojových ocelí. Za kritérium kinetickej obrobiteľnosti sa berie  $v_{15}$ , pri kritériu otupenia chrbta = 0,3 mm, alebo pri vyšších rezných rýchlosťach sa použije  $v_4$  pri = 0,2 mm. Potom relativná kinetická obrobiteľnosť pri zvolenej trvanlivosti je daná pomerom rezných rýchlosťí skúšaného a etalonového materiálu /2/.

$$K_v = \frac{v_T}{v_{Te}} \quad (14)$$

### 3.4 Skúšky tepelného spracovania

Príprava skúšobných vzoriek spočívala v narezaní z tyče Ø 80 x 2 500 na rozmer Ø 80 x 55 na strojnej píle a zarovnanie čela na sústruhu na rozmer Ø 80 x 50. Vzorky som naviazal na drôt a pre ohrev som použil dvojkomorovú pec: typ KRG 6/5, ktorá je vhodná do teplôt 1 350°C, výrobca n.p. ZEZ Praha.

V prípade pomalého chladnutia vsádzka chladla na volnom vzduchu, pri rýchlejšom chladnutí som použil stlačený vzduch z centrálnego rozvodu. Pred tepelným spracovaním bol vykonaný chemický rozbor materiálu, metalografické štrenie a tvrdosť základného materiálu.

### **3.4.1 Chemický rezbor**

Pri skúškach chemického zloženia boli vykonané rozbery prvkov nachádzajúcich sa v materiale 16 231. C, P a S boli zistené na základe spalovacej analytickej metódy a sú nasledovné:

$$C = 0,21 \%$$

$$P = 0,013 \%$$

$$S = 0,017 \%$$

Ostatné prvky /Mn, Si, Cr, Ni/ boli zistené kvantometricky a obsahy sú nasledovné:

$$Mn = 0,86 \%$$

$$Si = 0,33 \%$$

$$Cr = 0,97 \%$$

$$Ni = 1,53 \%$$

$$Al = 0,03 \%$$

### **3.4.2 Metalografické šetrenie základného materiálu**

Štruktúra je tvorená feritickým zrnom a karbidmi vylúčenými po priereze zín. Karbidi sú jemné, ich rozloženie po jednotlivých zrnách je nerovnomerné - výskyt zín s hustým a riedkym rozložením karbidov. Materiál je bez výskytu nečistôt, s odhličením povrchu do hĺbky 0,15 mm.

### **3.4.3 Tvrlosť základného materiálu**

Tvrlosť základného materiálu som určoval z troch meraní a priemerná hodnota je HB = 165. Meranie som prevádzal Brinellom pri zatažení 30 000 N guličkou priemeru Ø 10 mm.

### **3.4.4 Tepelné spracovanie**

Tepelné spracovanie som previedol podľa návrhu:

### **1. spôsob**

- ohriatie pece na teplotu  $950^{\circ}\text{C}$  - nábeh za 4,5 hodiny
- nábeh na teplotu po založení vsádzky - 4 min.
- výdrž na teplote  $950^{\circ}\text{C}$  - 1 hodina
- chladnutie na voľnom vzduchu do teploty  $400^{\circ}\text{C}$  - 12 min.  
/kontrola termokriedou pre  $400^{\circ}\text{C}$ /
- založenie do pece na teplotu  $650^{\circ}\text{C}$
- nábeh pece po založení vsádzky 3. min.
- výdrž na teplote  $650^{\circ}\text{C}$  - 1 hodina
- chladnutie na voľnom vzduchu

### **2. spôsob**

- založenie vsádzky na teplotu  $950^{\circ}\text{C}$
- nábeh na teplotu - 4 min.
- výdrž na teplote  $950^{\circ}\text{C}$  - 1 hodina
- chladnutie na voľnom vzduchu do teploty  $600^{\circ}\text{C}$  - 7 min.  
/kontrola termokriedou pre  $600^{\circ}\text{C}$ /
- založenie do pece na teplotu  $650^{\circ}\text{C}$
- nábeh pece po založení vsádzky 2 min.
- výdrž na teplote  $650^{\circ}\text{C}$  - 1 hodina
- chladnutie na voľnom vzduchu

### **3. spôsob**

- založenie vsádzky na teplotu  $950^{\circ}\text{C}$
- nábeh na teplotu - 4 min.
- výdrž na teplote  $950^{\circ}\text{C}$  - 1 hodina
- preloženie do pece na  $650^{\circ}\text{C}$  /bez chladnutia/
- výdrž na teplote  $650^{\circ}\text{C}$  - 1 hodina
- chladnutie na voľnom vzduchu

### **4. spôsob**

- zvýšenie teploty pece na 1  $050^{\circ}\text{C}$
- založenie vsádzky a nábeh na teplotu - 7 min.
- výdrž na teplote 1  $050^{\circ}\text{C}$  - 1 hodina
- chladnutie na voľnom vzduchu - 10 min. - teplota vzorku  
 $650^{\circ}\text{C}$  /kontrola termokriedou/

- založenie do pece na  $650^{\circ}\text{C}$
- nábeh pece po založení vsádzky 2 min.
- výdrž na teplote  $650^{\circ}\text{C}$  - 1 hodina
- chladnutie na voľnom vzduchu

#### 5. spôsob

- zvýšenie teploty pece na 1  $200^{\circ}\text{C}$
- založenie vsádzky a nábeh na teplotu - 12 min.
- výdrž na teplote  $1 200^{\circ}\text{C}$  - 1 hodina
- chladnutie na voľnom vzduchu - 10 min. - teplota vzorku  $700^{\circ}\text{C}$  /kontrola termokriedou/
- založenie do pece na  $650^{\circ}\text{C}$
- nábeh pece po založení vsádzky 2 min.
- výdrž na teplote  $650^{\circ}\text{C}$  - 1 hodina
- chladnutie na voľnom vzduchu

#### 6. spôsob

- založenie vsádzky na teplotu  $1 200^{\circ}\text{C}$
- nábeh na teplotu po založení vsádzky - 12 min.
- výdrž na teplote  $1 200^{\circ}\text{C}$  - 1 hodina
- ochladzovanie prúdom stlačeného vzduchu zo vzdialenosťí cca 0,6 m po dobu 10 minút - teplota vzorku  $600^{\circ}\text{C}$  /kontrola termokriedou/
- založenie do pece na  $650^{\circ}\text{C}$
- nábeh pece po založení vsádzky 2 min.
- výdrž na teplote  $650^{\circ}\text{C}$  - 1 hodina
- chladnutie na voľnom vzduchu

#### 3.4.5 Tvrdošti tepelnne spracovaných vzoriek

Medzi jednotlivými spôsobmi tepelného spracovania nie sú, čo sa týka tvrdošti, výrazné rozdiely. Najvyššie tvrdošti, merané HB guličkou Ø 10 mm a zatažením silou 30 000 N, boli dosiahnuté pri izotermickom žíhaní podľa spôsobu 3. Hodnoty sú v rozmedzí 221 - 231 HB. Tvrdošti všetkých žíhaných vzoriek sú uvedené v tab. 1. Každý vzorek som meral 3x.

Druh tepel. spracovania	Tvrdosť /HB/	Popis štruktúry	Vel. zrma ČSN
1	198 207 201	Jemný lamelárny perlit	10
2	190 196 175	Jemný lamelárny perlit	9
3	225 231 221	štruktúra heterogénna - perlit vo forme hrubých lamiel	6-8
4	190 190 185	hrubá feriticko-perlitická štruktúra, výskyt globu- lárneho perlitu	5-8
5	201 212 211	Widmstedtova štruktú- ra, výrazná ihlicovitosť feritu	3
6	184 190 187	Heterogénna feriticko- -perlitická lamelárna štruktúra	3

Tab. 1

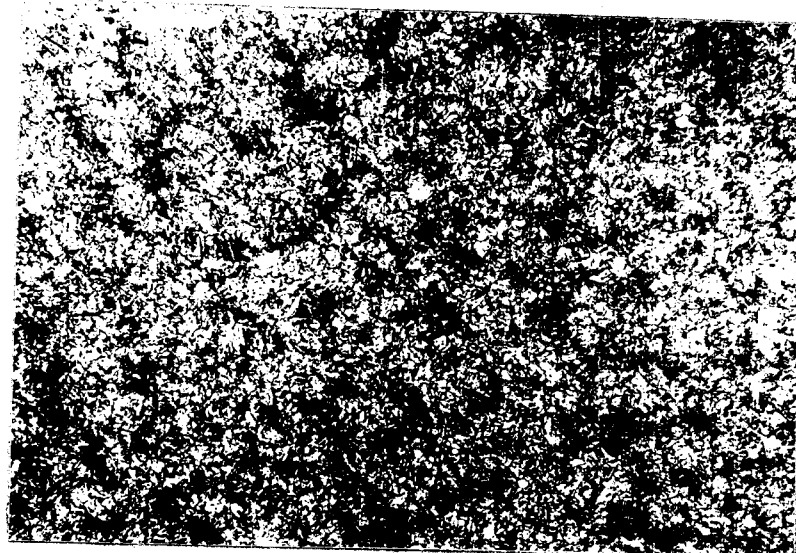
### 3.4.6 Štruktúra tepelne spracovaných vzoriek

Pri prvom spôsobe je štruktúra veľmi jemná, homogénna, nekovové vmesťky sú zanedbateľné. Štruktúra je tvorená zrnamenami feritu a perlitu s veľkosťou zrna rovnajúcou sa etalónu č. 10 podľa ČSN 42 0463. Pôvodné austenitické zrno nie je rozlišiteľné. Štruktúra v priečnom reze je zobrazená pri 100 - násobnom zväčšení na obr. 9 a a pri 500 - násobnom zväčšení na obr. 9 b.

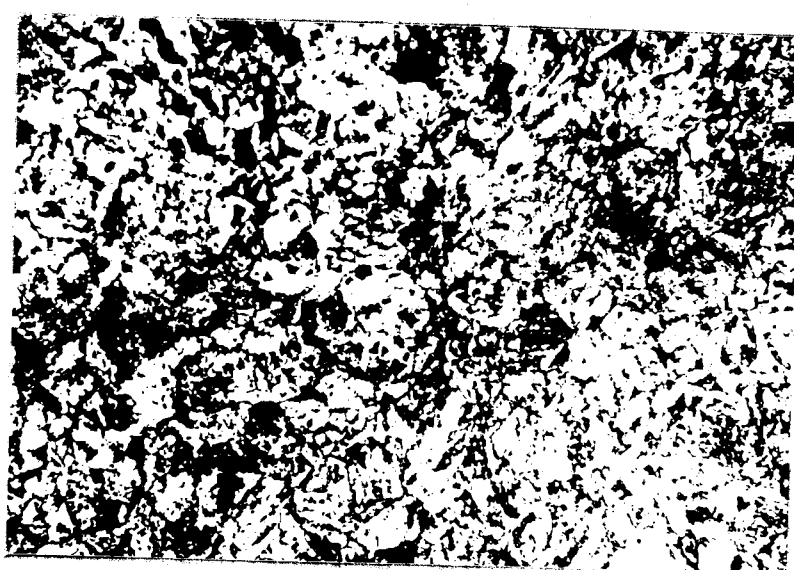
Štruktúra v pozdižnom reze je zobrazená pri 100 - násobnom zväčšení na obr. 9 c a pri 500 - násobnom zväčšení na obr. 9 d. Výrazná riadkovitosť viditeľná v štruktúre vzniká pri výrobe tyčí. Nie je spôsobená tepelným spracovaním a toto ju ani neovplyvňuje. Tento jav sa vyskytuje pri všetkých skúšaných druhoch tepelného spracovania a ďalej sa s ním nebudem zaoberať.

Druhý spôsob sa od prvého v štruktúre líši v tom, že zrno má veľkosť podľa etalónu č. 9. Je to spôsobené pomalším chladnutím z austenitizačnej teploty a tým i výskytom menšieho počtu zárodkov, okolo ktorých sa z austenitu vylučuje ferit a perlit. Perlit je vylúčený vo forme jemných lamiel. Štruktúra v priečnom reze pri 100 a 500 - násobnom zväčšení je na obr. 10 a, b. Štruktúra v pozdižnom reze je na obr. 10 c, d.

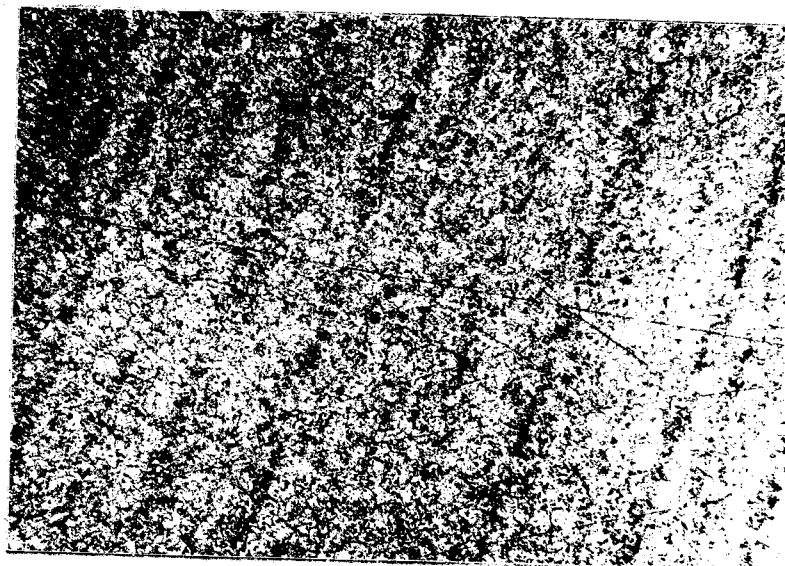
Pri treťom spôsobe je štruktúra tvorená nerovnomerné zhrubnutým zrnom. Na výhruse sú vedľa seba zrná o veľkosti podľa etalónu č. 6 a etalónu č. 8. Perlit je vylúčený vo forme veľkých lamiel. Vzniklá štruktúra je výrazne heterogenná, badať riadkovitosť, striedanie mäkkých /feritických/ a tvrdších /perlitických/ miest. Štruktúra v priečnom reze pri 100 a 500 - násobnom zväčšení je na obr. 11 a, b. Štruktúra v pozdižnom reze je na obr. 11 c, d.



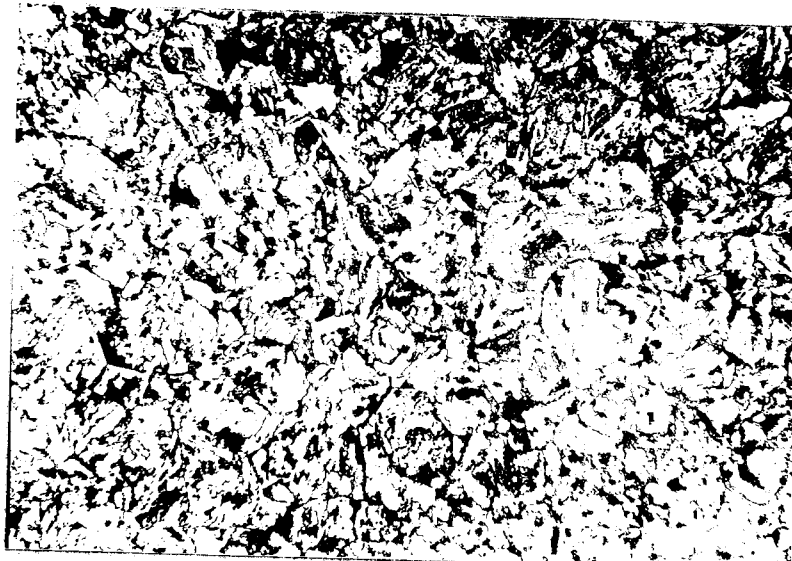
Obr. 9 a Štruktúra izotermicky žíhanej vzorky NITAL  
podľa spôsobu 1 pri zväčšení 100 x



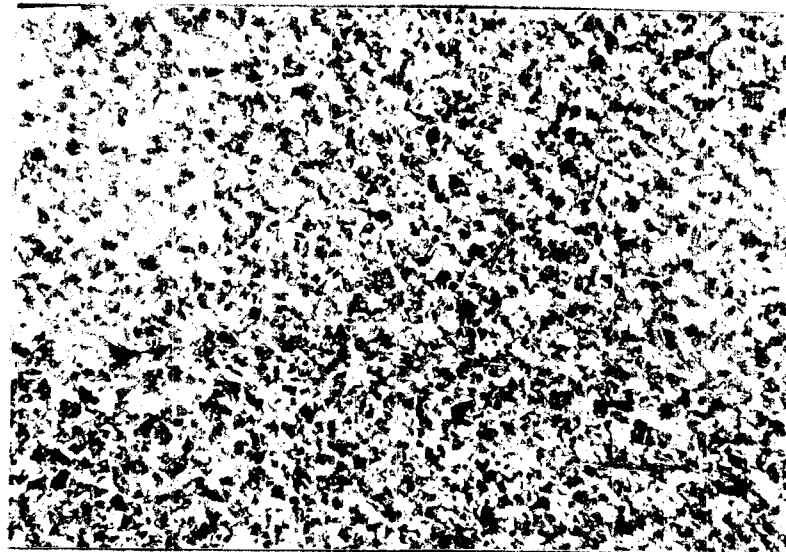
Obr. 9 b Štruktúra izotermicky žíhanej vzorky NITAL  
podľa spôsobu 1 pri zväčšení 500 x



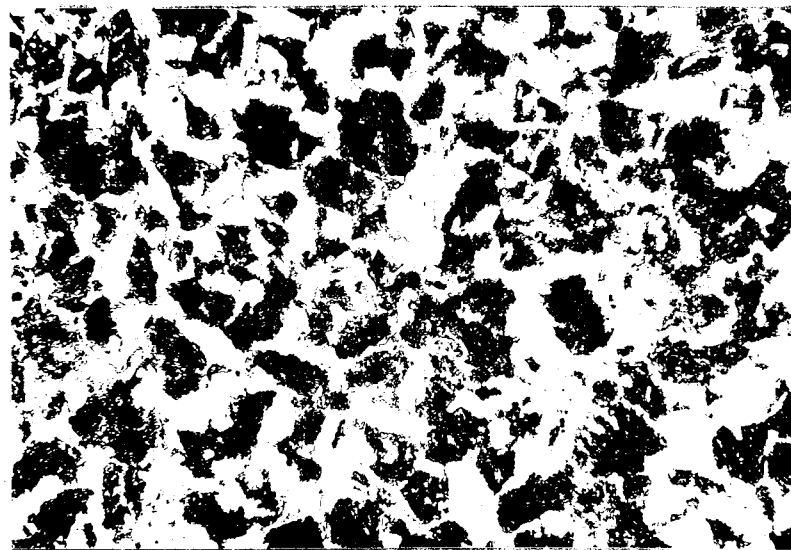
Obr. 9 c Štruktúra izotermicky žihanej vzorky NITAL  
podľa spôsobu 1 pri zväčšení 100 x



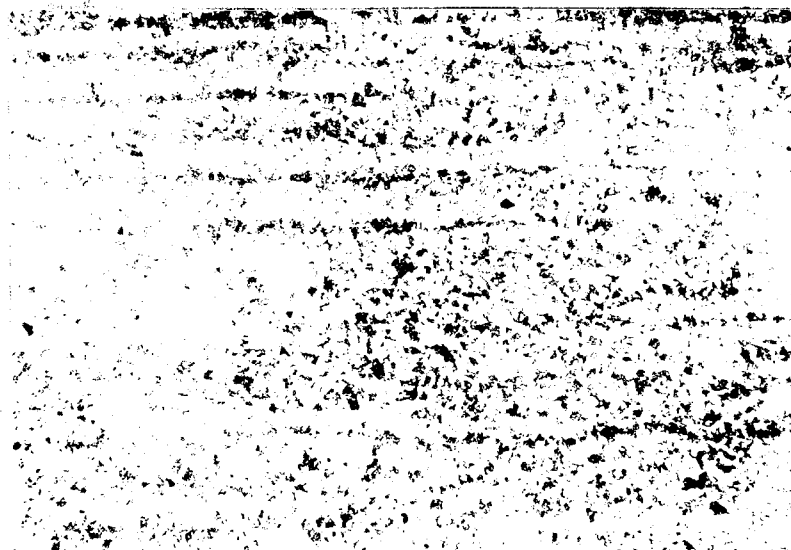
Obr. 9 d Štruktúra izotermicky žihanej vzorky NITAL  
podľa spôsobu 1 pri zväčšení 500 x



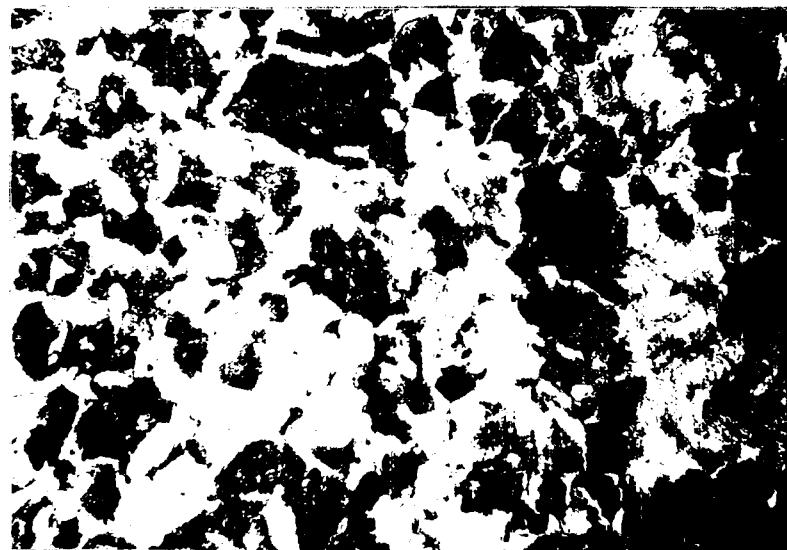
Obr. 10 a Štruktúra izotermicky žíhanej vzorky NITAL  
podľa spôsobu 2 pri zväčšení 100 x



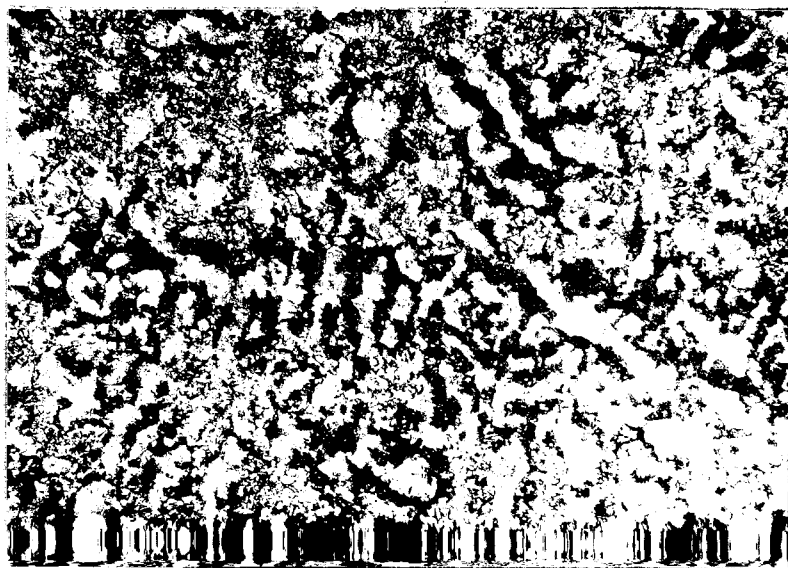
Obr. 10 b Štruktúra izotermicky žíhanej vzorky NITAL  
podľa spôsobu 2 pri zväčšení 500 x



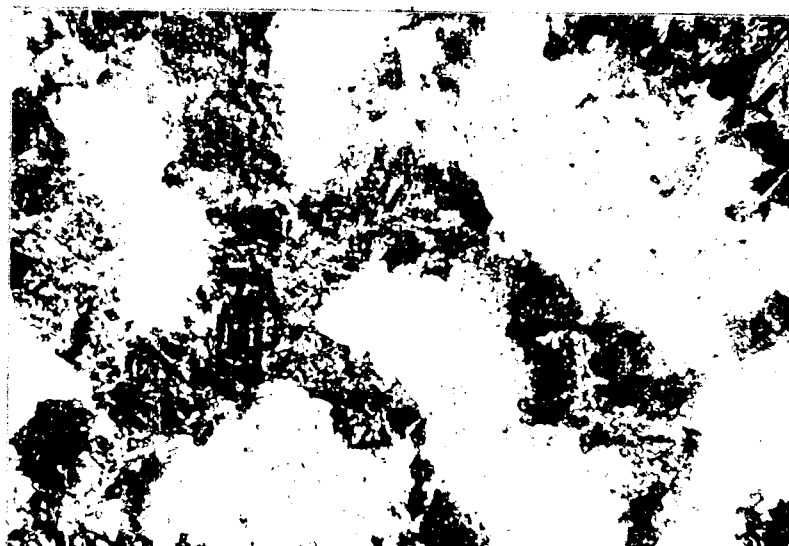
Obr. 10 c Štruktúra izotermicky žíhané vzorky NITAL  
podľa spôsobu 2 pri zväčšení 100 x



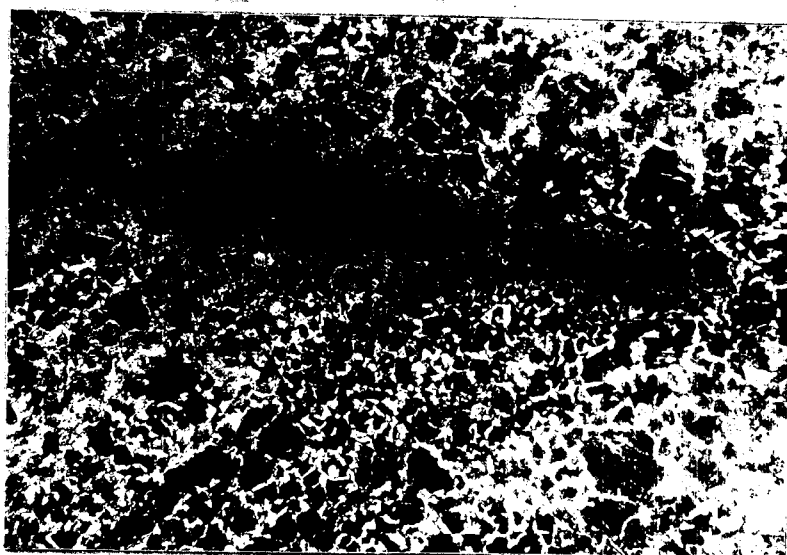
Obr. 10 d Štruktúra izotermicky žíhané vzorky NITAL  
podľa spôsobu 2 pri zväčšení 500 x



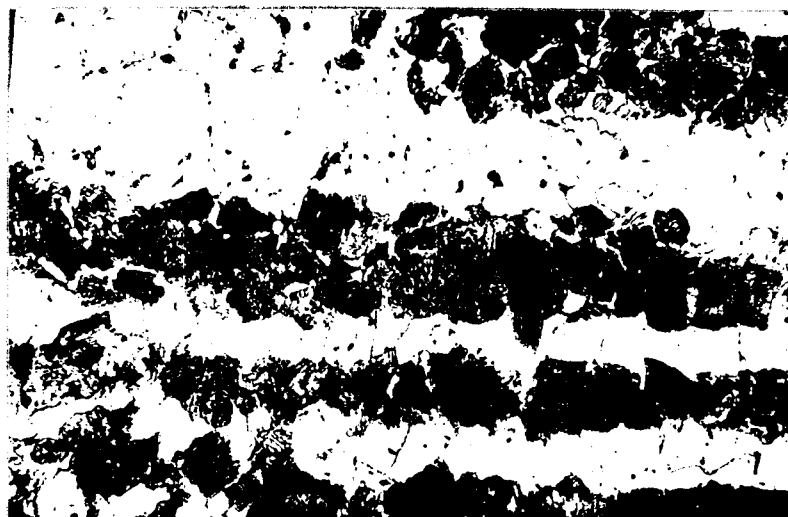
Obr. 11 a Štruktúra izotermicky žíhanej všerky  
podľa spôsobu 3 pri zväčšení 100 x



Obr. 11 b Štruktúra izotermicky žíhanej všerky



Obr. 11 c Štruktúra izotermicky žihanej vzorky NITAL  
podľa spôsobu 3 pri zväčšení 100 x



Pri štvrtom spôsobe bola austenitizačná teplota nad prahom hrubnutia zrna ale vzhľadom k prítomnosti Al zrno nehrublo rovnomerne. Na výbruse sú vedľa seba zrná o veľkosti podľa etalónu č. 5 a etalónu č. 8. Výskyt globulárneho perlitu potvrdzuje správnosť realizácie navrhnutého spôsobu tepelného spracovania, ktoré sa dá hodnotiť prakticky ako varianta mäkkého žíhania. Pri tom lamelárny perlit však ukazuje, že pokial by mala byť dosiahnutá globulárna perlitická štruktúra, bolo by nutné žíhanie pri teplote  $1050^{\circ}\text{C}$  budť predĺžiť alebo uvedomu teplotu zvýšiť. Štruktúra v priečom reze pri 100 a 500 - násobnom zväčšení je na obr. 12 a, b. Štruktúra v pozdĺžnom reze je na obr. 12 c, d.

Austenitizáciou pri vysokej teplote podľa piatého spôsobu, došlo k vzniku hrubožrnnnej štruktúry. Taktiež došlo k vylúčeniu volnej feritickej fázy po hraniciach pôvodných a austenitických zrň. Hodnotené hladiska vlastnej akostí materiálu nemôžem toto tepelné spracovanie doporučiť, lebo prispieva k nehomogénnosti materiálu a bezpochyby sa prejaví v znížených mechanických hodnotách. I ochladenie z hladiska materiálu zhoršuje jeho akosť, lebo bolo dosiahnuté podmienok vzniku Widmanstättenovej štruktúry, teda výraznej ihlicovitosti feritu, ktorá viedie k zníženiu mechanických vlastností. Štruktúra v priečom reze pri 100 a 500 - násobnom zväčšení je na obr. 13 a, b. Štruktúra v pozdĺžnom reze je na obr. 13 c, d.

Pri šiestom spôsobe austenitizáciou pri vysokej teplote podobne ako v predchádzajúcim prípade došlo k zhrubnutiu zrna i k zvýšeniu heterogenity v štruktúre, čo môžeme považovať za nevyhovujúci stav. Po prevedení perlitickej premeny na  $650^{\circ}\text{C}$  - 1 hodina sa však už nevytvoril stav ako v predchádzajúcim prípade, to znamená podmienky vzniku Widmanstättenovej štruktúry. Hodnotené iba z tohto hladiska je tento stav priaznivejší. Zhrubnutie materiálu je však takého rozsahu, že tento spôsob tepelného spracovania nemôžem doporučiť.

Štruktúra v priečnom reze pri 100 a 500 - násobnom zväčšení je na obr. 14 a, b. Štruktúra v pozdižnom reze je na obr. 14 c, d.

### 3.5 Skúšky obrobiteľnosti

Čelná skúška obrobiteľnosti bola vzhľadom na priemer Ø 80 mm skrátená s použitím vysokých rezných rýchlosťí, aby na tomto priemere došlo k otupeniu ostria nástroja. Kritérium otupenia bolo zborgenie reznej hrany.

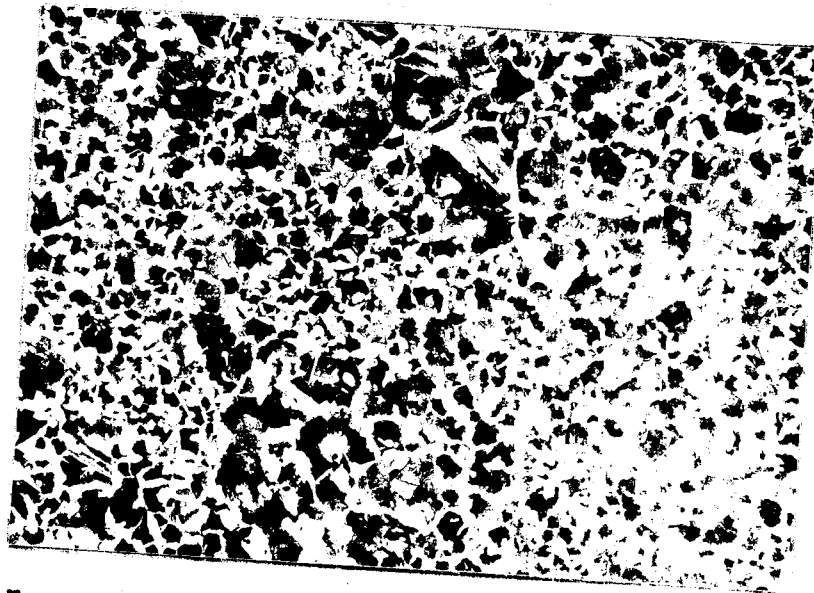
Skúšky sústruženia boli vykonané na stroji SV18RD. Je to sústruh s plynulou zmenou otáčok a blokom konštantnej reznej rýchlosťi. Pre prevedenie skúšok neboli tieto doplnky využité, lebo sa pracovalo pri rovnakých otáčkach. Rezné podmienky pri sústružení boli stanovené nasledovne:

otáčky  $n$  -  $500 \text{ ot}.\text{min}^{-1}$   
 $1\ 000 \text{ ot}.\text{min}^{-1}$   
 $1\ 500 \text{ ot}.\text{min}^{-1}$   
 $2\ 000 \text{ ot}.\text{min}^{-1}$   
 $2\ 500 \text{ ot}.\text{min}^{-1}$

hrúbka triesky  $t = 1 \text{ mm}$   
posúv  $s = 0,20 \text{ mm}$

Pre obrábanie boli použité vymeniteľné doštičky materiálu R0 19 830 s 8 reznými hranami, ktoré sa upevňujú do nožového držiaka Harex 25 x 25 PW 3850.1. Geometria doštičky bola nasledovná:

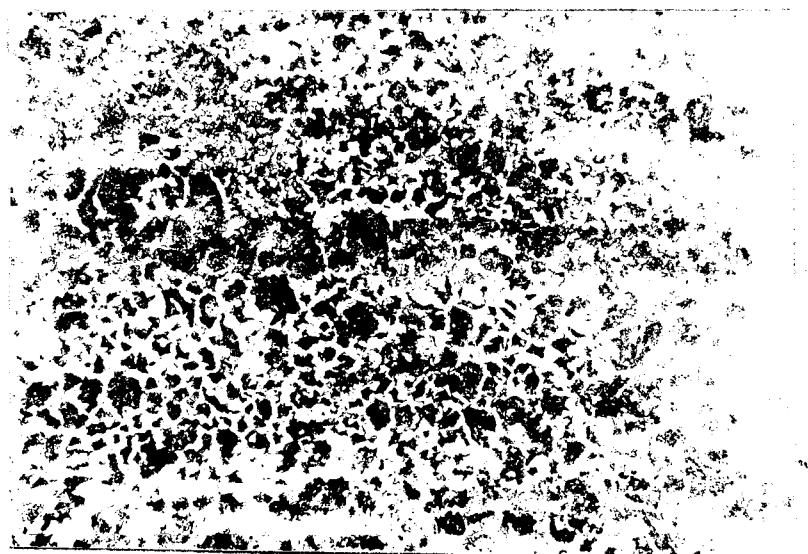
$\gamma_0 = 8^\circ$   
 $\lambda_0 = 6^\circ$   
 $\lambda_0 = -4^\circ$   
 $\alpha = 75^\circ$   
 $\alpha' = 15^\circ$   
 $r_e = 0,3 \text{ mm}$



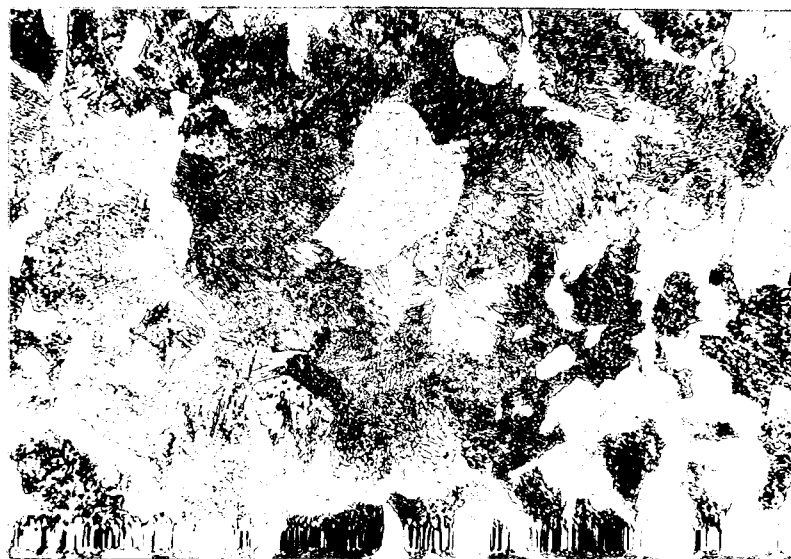
Obr. 12 a Štruktúra izotermicky žihanej vzorky NITAL  
podľa spôsobu 4 pri zväčšení 100 x



Obr. 12 b Štruktúra izotermicky žihanej vzorky NITAL  
podľa spôsobu 4 pri zväčšení 500 x



Obr. 12 c Štruktúra izotermicky žíhanej vzorky NITAL  
podľa spôsobu 4 pri sväčení 100 x



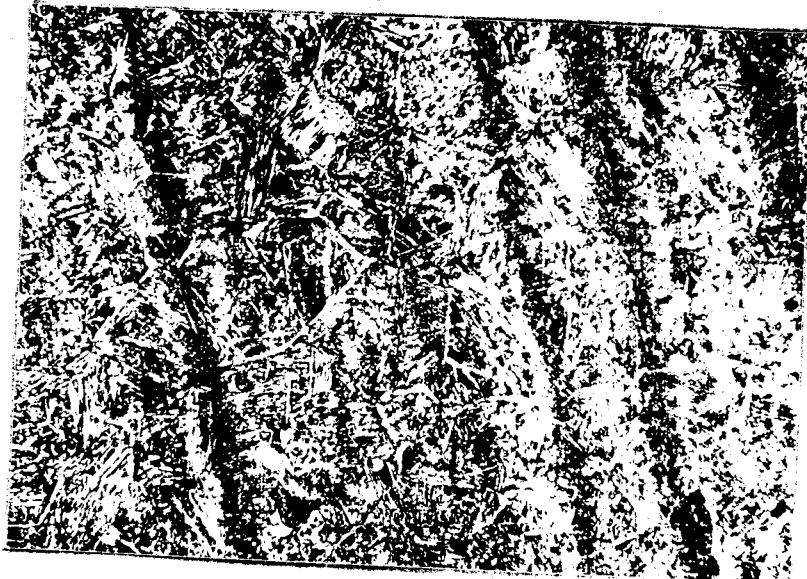
Obr. 12 d Štruktúra izotermicky žíhanej vzorky NITAL  
podľa spôsobu 4 pri sväčení 500 x



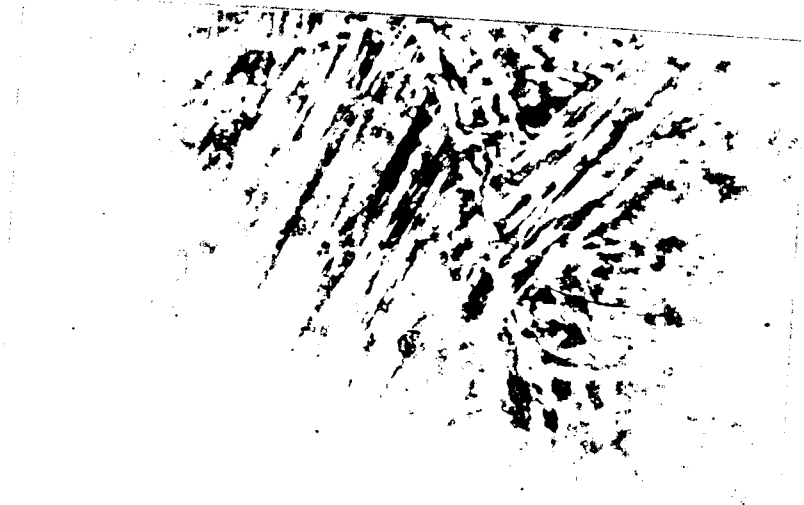
Obr. 13 a Štruktúra izotermicky žíhanej vzorky NITAL  
podľa spôsobu 5 pri zväčšení 100 x



Obr. 13 b Štruktúra izotermicky žíhanej vzorky NITAL  
podľa spôsobu 5 pri zväčšení 500 x



Obr. 13 c Štruktúra izotermicky ťíhanej vzorky NITAL  
podľa spôsobu 5 pri zväčšení 100 x



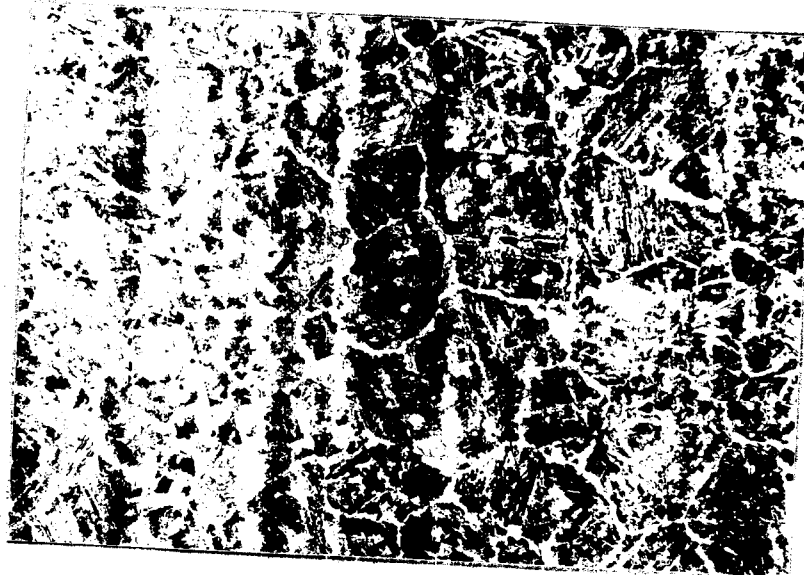
Obr. 13 d Štruktúra izotermicky ťíhanej vzorky NITAL  
podľa spôsobu 5 pri zväčšení 500 x



Obr. 14 a Štruktúra izotermicky žíhanej vzorky NITAL  
podľa spôsobu 6 pri zväčšení 100 x



Obr. 14 b Štruktúra izotermicky žíhanej vzorky NITAL  
podľa spôsobu 6 pri zväčšení 500 x



Obr. 14 c Štruktúra izotermicky žíhanej vzorky NITAL  
podľa spôsobu 6 pri zväčšení 500 x



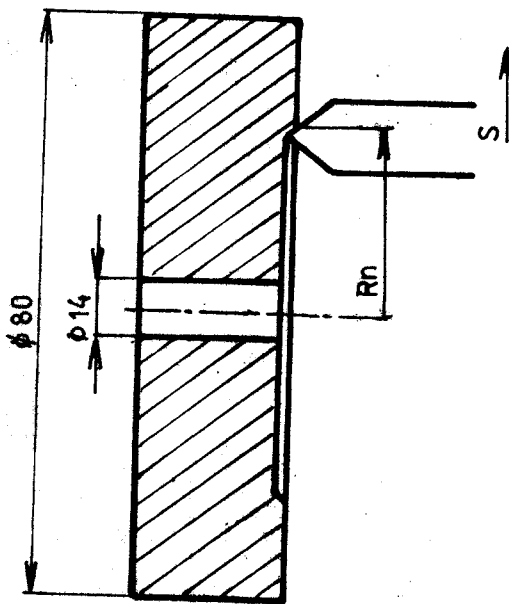
Obr. 14 d Štruktúra izotermicky žíhanej vzorky NITAL  
podľa spôsobu 6 pri zväčšení 500 x

Aby nedošlo pri začiatku sústruženia k opracovaniu nízkou reznou rýchlosťou, bola skúšobná vzorka už spomenutých rozmerov navŕtaná vrtákom  $\varnothing$  14 mm - obr. č 15.

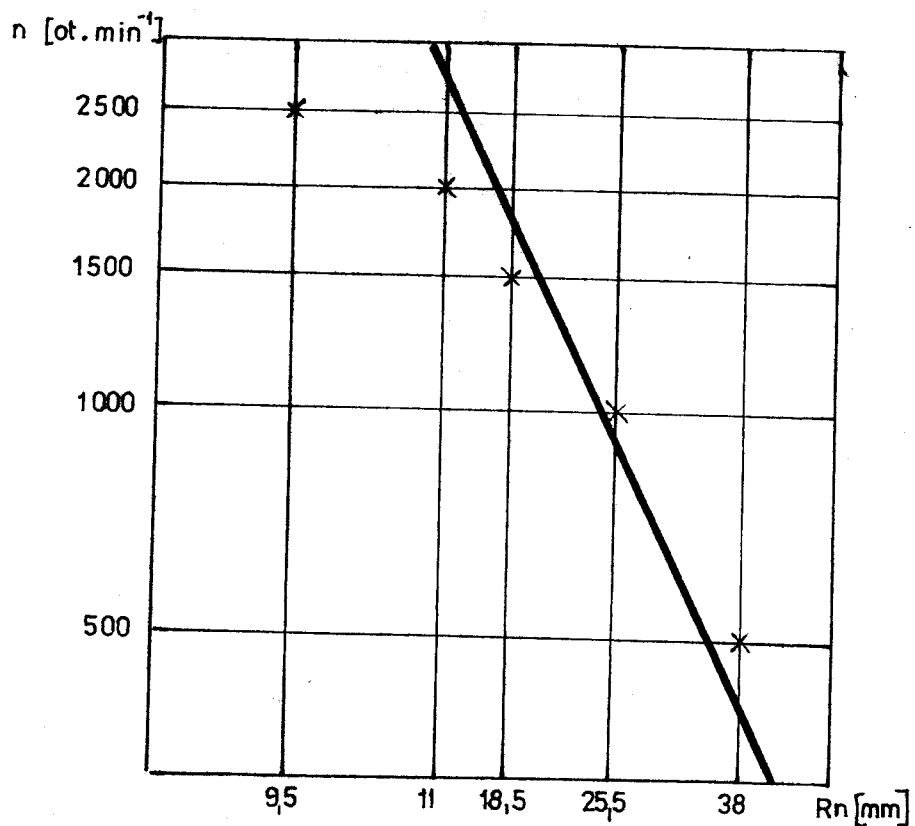
Postup skúšky spočíval v sústružení čela obrobku od stredu k obvodu. Pritom na určitom polomerze  $R_n$  došlo k otupeniu noža. Prvá skúška bola vykonaná pri najmenších otáčkach, preto polomer  $R_n$  bol najväčší. Ostatné skúšky pri vyšších otáčkach prebiehali bez zarovnania čela, iba po výmene, resp. otočení platničky posunutím noža o hodnotu  $t$ . Týmto spôsobom možno namerat na jednom obrobku všetky polomerzy  $R_1 \dots R_5$ , dosiahnuté pri rôznych otáčkach. Zarovnanie obrobku sa vykoná až pri ďalšej skúške.

Pre sledovanie optimálnych závislostí boli pre každý druh tepelného spracovania zhotovené diagramy závislostí otáčok na polomerze  $R_n$ , kedy došlo k otupeniu nástroja. Priebeh závislosti s určením uhla  $\alpha$  je na obr. 16, 17, 18, 19, 20, 21, 22.

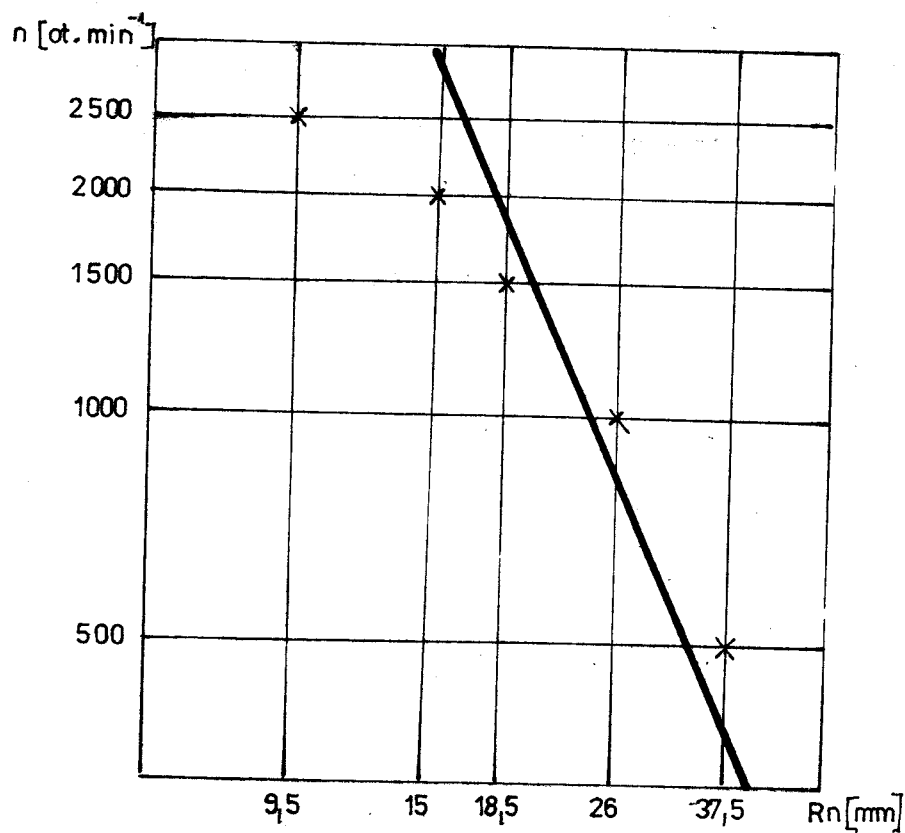
Z týchto závislostí sa ešte nedá hodnotiť spôsob tepelného spracovania vzhľadom na obrobiteľnosť. Pre hodnotenie ďalších spôsobov je nutné dokončiť výpočet podľa 3.3 tejto práce. Vypočítané hodnoty koeficientu  $m$ ,  $\operatorname{tg} \alpha$  - uhol v závislosti  $\log n = f / \log R_n$ , koeficientu  $c_v$  a reznej rýchlosťi pri trvanlivosti 4 min.  $v_4$ , sú uvedené v tab. 2. Podľa týchto výsledkov bol zostrojený diagram závislostí  $T - v$  obr. 23 a za najvhodnejšie zo spôsobov boli vyhodnotené spôsoby č. 1 a č. 2. Spôsob č. 5 a 6 sú neekonomicke spôsoby tepelného spracovania vzhľadom na vysokú teplotu a dlhú dobu chladnutia. Izotermický žíhané vzorky podľa spôsobu č. 1 a č. 2 boli po austenitizácii na voľnom vzduchu len krátku dobu, neboli ovplyvnené vznikom prechodových štruktúr od rýchleho chladnutia a nedošlo ani k vzniku riadkovitosti.



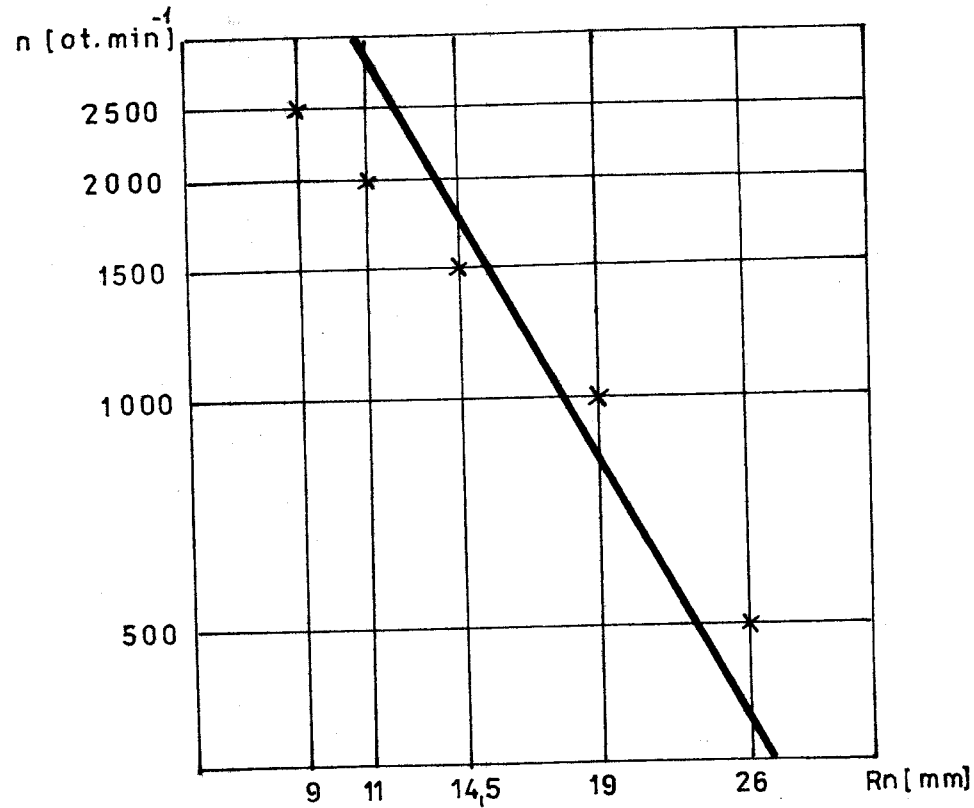
Obr. 15 Vzorek, použitý pri mimoškých oborobiteľnosti na materiale 16 231



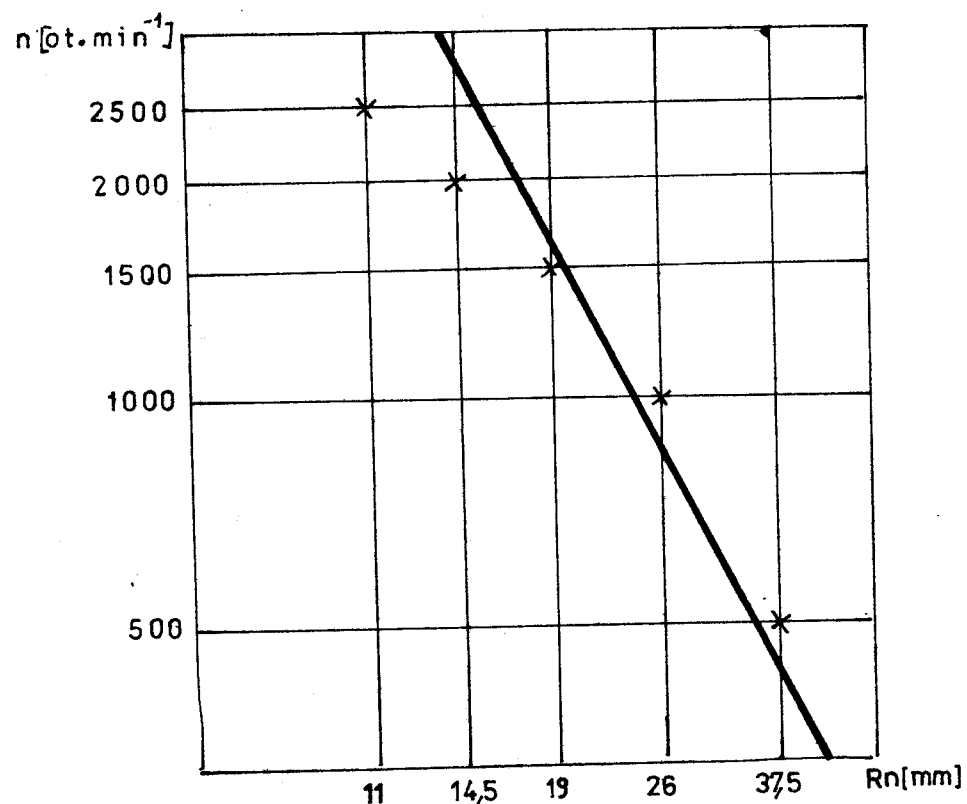
Obr.č.16 Závislosť  $R_n$  - n pre izotermické žíhanie podľa spôsobu 1



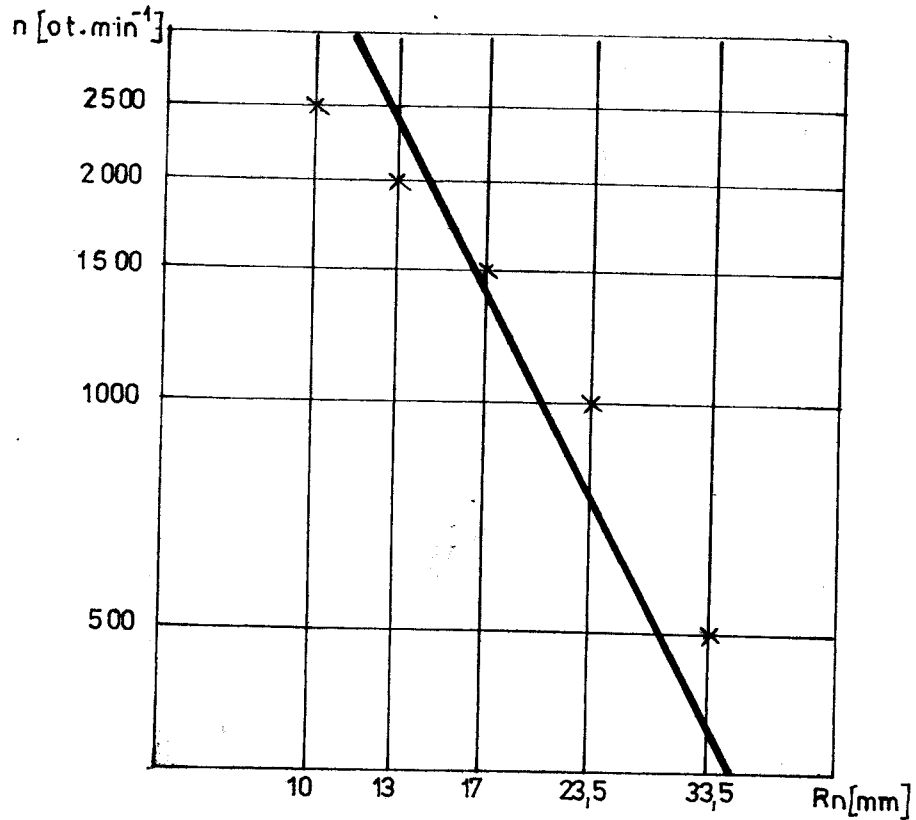
Obr.č.17 Závislosť  $R_n$  - n pre izotermické žíhanie podľa spôsobu 2



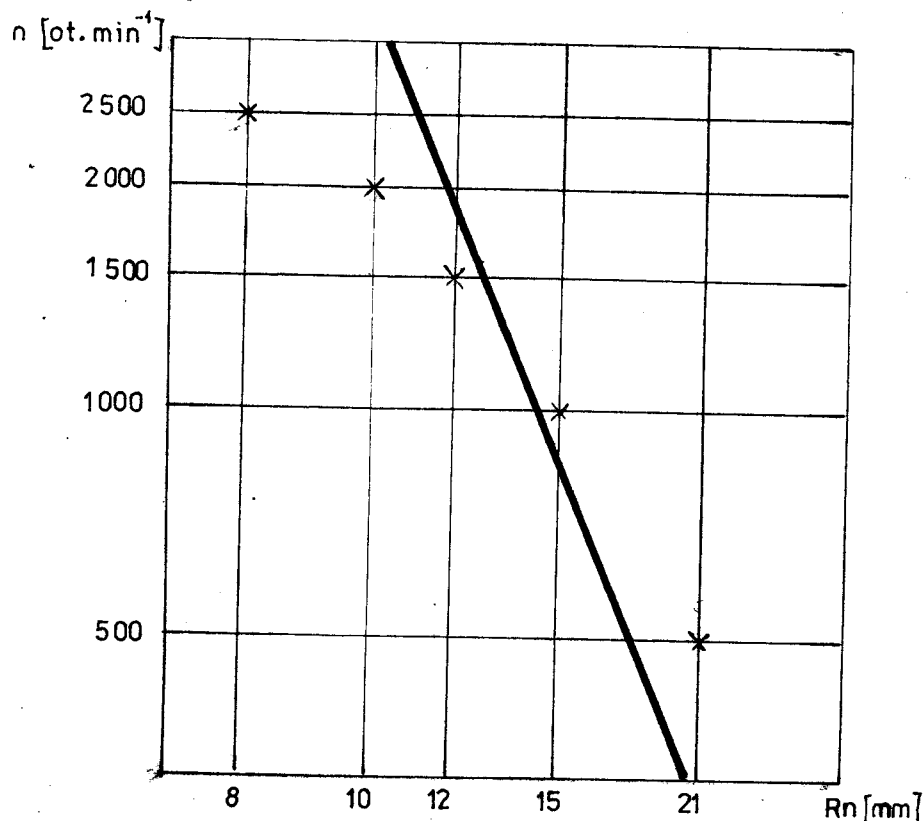
Obr. č. 18 Závislosť  $R_n$  -  $n$  pre izotermické žíhanie podľa spôsobu 3



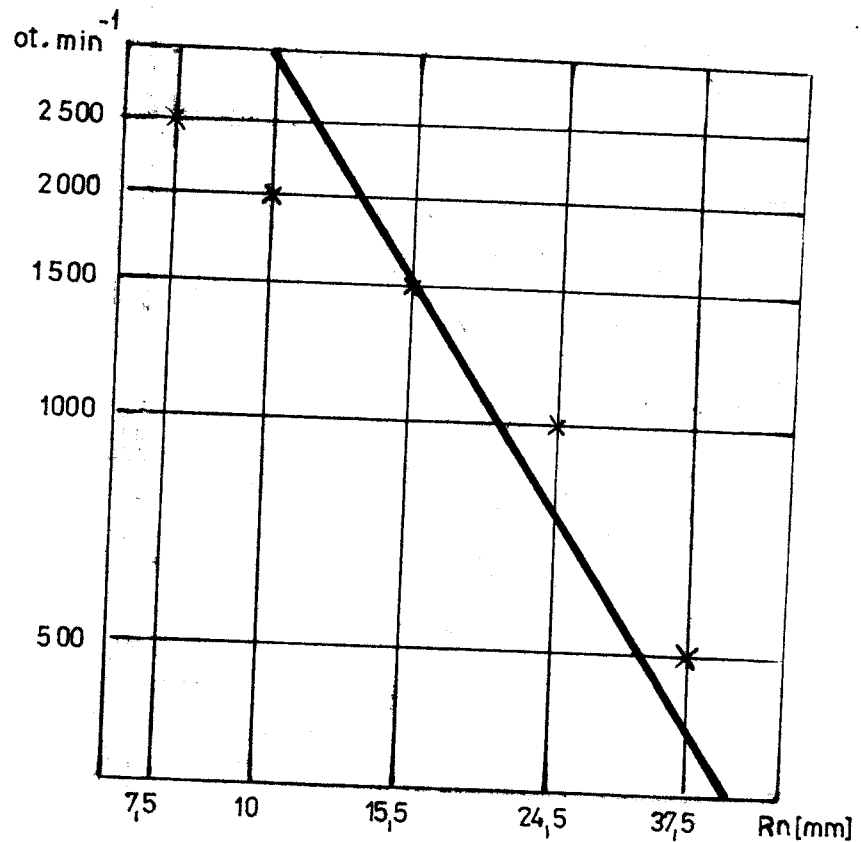
Obr. č. 19 Závislosť  $R_n$  -  $n$  pre izotermické žíhanie podľa spôsobu 4



Obr.č.20 Závislosť  $R_n$  -  $n$  pre izotermické žíhanie podľa spôsobu 5



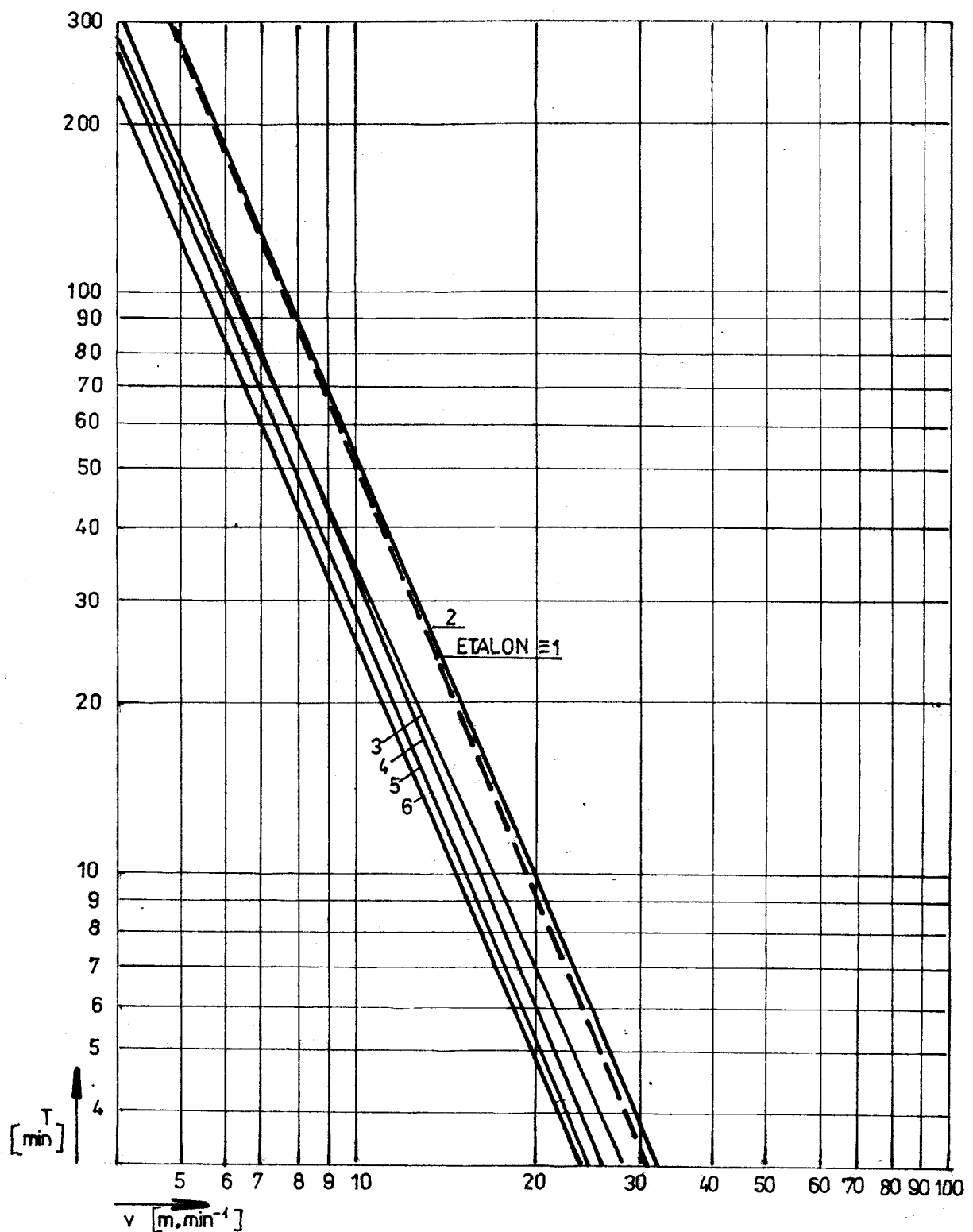
Obr.č.21 Závislosť  $R_n$  -  $n$  pre izotermické žíhanie podľa spôsobu 6



Obr. č. 22 Závislosť  $R_n - n$  pre etalonový materiál  
12 050.1

Spô- sob TS	$R_n$					m	tg	c_v	$v_4$ $m \cdot min^{-1}$	$K_v$	Trieda obrob.
	n										
	500	1000	1500	2000	2500						
1	38	25,5	18,5	15	9,5	2,576	2,27	50,02	29,20	1,01	13b
2	37,5	26	18,5	15	9,5	2,561	2,28	48,92	28,50	0,98	13b
3	34	22	14,5	11	9	2,470	2,36	41,69	23,78	0,79	12b
4	37,5	26	19	14,5	11	2,515	2,32	48,39	25,46	0,79	12b
5	33,5	23,5	17	13	10	2,420	2,41	40,32	22,74	0,75	12b
6	32	21	15	12	8	2,437	2,39	37,98	21,50	0,71	11b
Bta- lón mat.	37,5	24,5	15,5	10	7,5	2,605	2,25	48,49	28,48	1,00	13b

Tab. 2



Obr. 23 Priebeh  $T$ - $v$  závislostí, odpovedajúce rôznym spôsobom izotermického žíhania. Čiarkevanie je vyznačená závislosť odpovedajúca etalonovému materiálu 12 050.1.

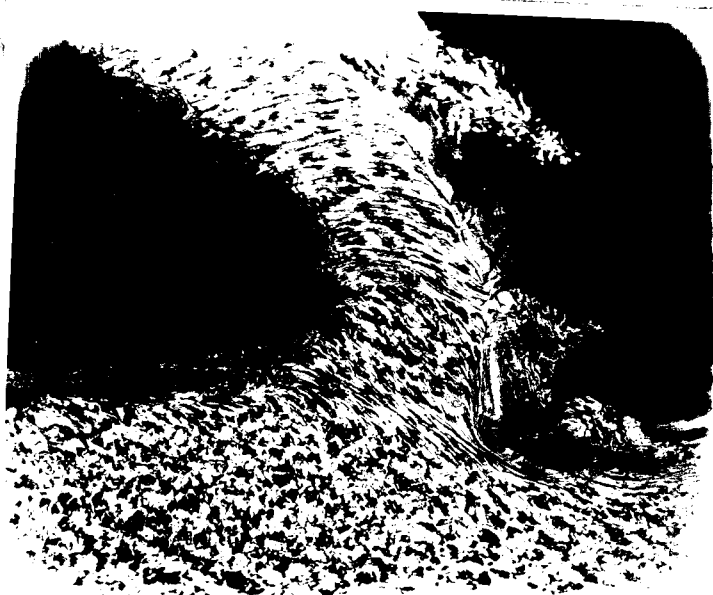
V ďalšom poradí vhodnosti spôsobov je spôsob č. 3, ktorý možno vzhľadom na tvrdosť používať pre súčiastky k pretahovaniu, aby plochy boli hladké.

Pre výpočet indexu obrabiteľnosti boli vykonané za rovnakých podmienok i skúšky na etalonovom materiále 12 050.1. Výsledky obrábania sú uvedené v tab. 2 a závislosť  $R_n$  - n je na obr. 22. Index obrabiteľnosti určil poradie také isté ako závislosť T - v a hodnoty sú uvedené v tab. 2.

Tvary triedok pri reznej rýchlosťi  $1\ 500 \text{ ot}.\cdot\text{min}^{-1}$  sú na obr. 24 /spôsob 1/, obr. 25 / spôsob 2/, obr. 26 /spôsob 3/ obr. 27 /spôsob 4/, obr. 28 /spôsob 5/ obr. 29 /spôsob 6/.



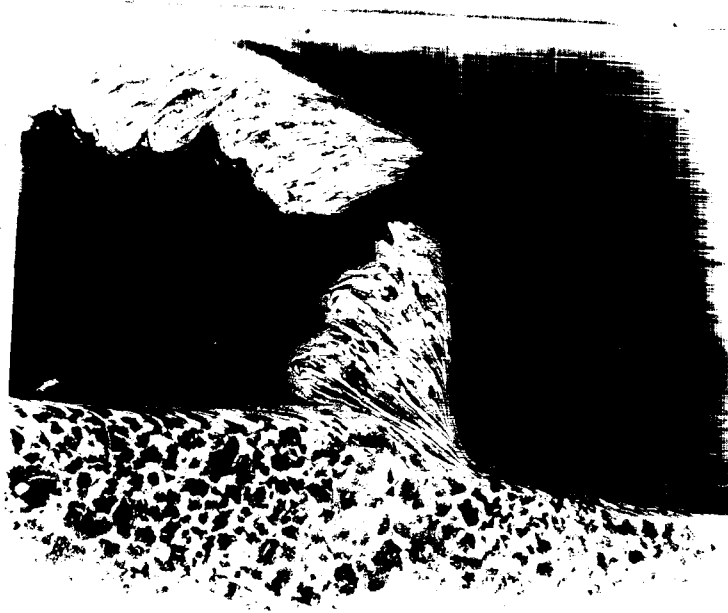
Obr. 24 Tvar triesky pri  $1\ 500\ \text{ot}.\text{min}^{-1}$  NITAL  
podla spôsobu 1



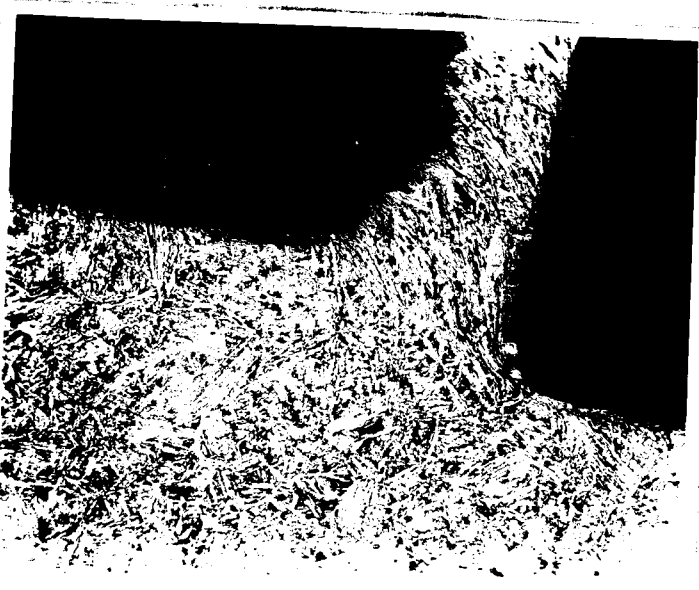
Obr. 25 Tvar triesky pri  $1\ 500\ \text{ot}.\text{min}^{-1}$  NITAL  
podla spôsobu 2



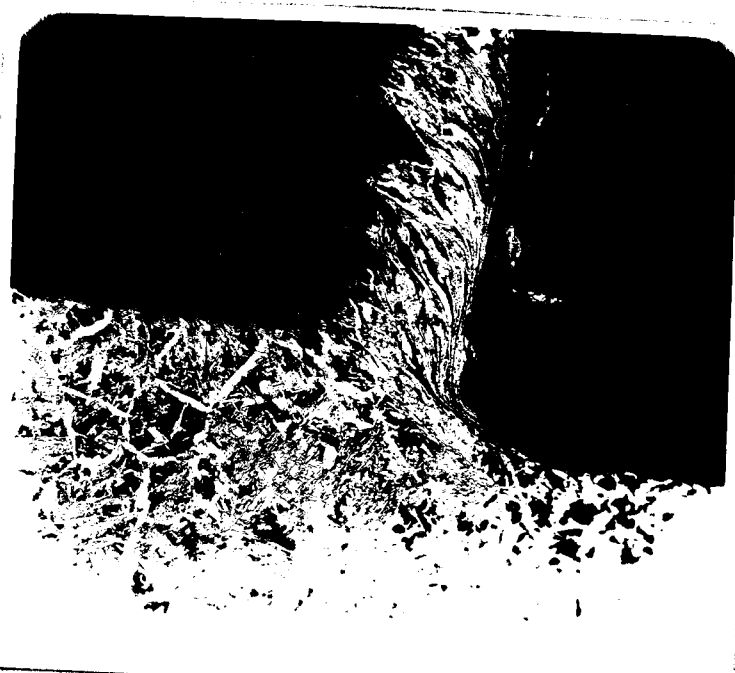
Obr. 26 Tvar triesky pri  $1\ 500\ \text{ot}.\text{min}^{-1}$  NITAL  
podľa spôsobu 3



Obr. 27 Tvar triesky pri  $1\ 500\ \text{ot}.\text{min}^{-1}$  NITAL  
podľa spôsobu 4



Obr. 28 Tvar triesky pri  $1\ 500\ \text{ot}.\text{min}^{-1}$  NITAL  
podľa spôsobu 5



Obr. 29 Tvar triesky pri  $1\ 500\ \text{ot}.\text{min}^{-1}$  NITAL  
podľa spôsobu 6

#### 4.0 EKONOMICKÉ VÝHODNOTENIE NYVRHOVANEJ TECHNOLOGIE

Uvažované technológie sú zamerané na zlepšenie tepelného spracovania výkovkov z cementačných ocelí. V tomto prípade je najlepšia aplikatelnosť spôsobu izoternického žíhania na súčiastky prevodoviek, ktorých výrobou sa zaoberajú Považské strojárne, koncernový podnik, Považská Bystrica. Vybrané súčiastky sa budú v tomto podniku vyrábať už ako polotovary /výkovky/ a je nutné uvažovať i s operáciami žíhania. Celkovo sa ročne predpokladá spracovanie výkovkov o hmotnosti cca 15 000 000 kg, z čoho časť sa bude spracúvať normalizačným žíhaním, časť zušľachťovaním a na izotermické žíhanie pripadá za rok cca 4 788 000 kg. Z tohoto množstva vychádza potreba spracovania za hodinu pri ročnom hodinovom fonde 5 809 hodín,  $824 \text{ kg.hod}^{-1}$ .

Doposiaľ sa pre tento druh výkovkov používali dva druhy tepelného spracovania. Po kovani sa používalo žíhanie na mäkkoo a po hrubovacích operáciach pred operáciami výroby ozubenia ako technologická operácia sa zaraďovalo zušľachťovanie. Zavedením izotermického žíhania je možné tieto operácie odstrániť, čím vzniknú úspory najmä pri tepelnom spracovaní, ale tiež i na náradí a prácnosti pri mechanickej výrobe.

##### 4.1 Úspory pri tepelnom spracovaní

Pre požadovaný výkon a druhy tepelného spracovania prípadajú na porovnanie tieto zariadenia:

Žíhanie na mäkkoo - pec ROC 11 x 5/245 - 80

Zušľachťovanie - linka T6 o zložení:

Kaliaca pec PVSA 20/135 s kaliacou vaňou

Práčka QRV 16/60

Popúšťacia pec PVO 6.30.120/30

Izotermické žíhanie - linka o zložení podľa 2.4.

**4.1.1 Náklady na žíhanie výkovkov - doposiaľ používaný spôsob**

**a/ Investičné náklady pece ROC + T6**

Celkové investičné náklady	- 9 285 000 Kčs
Ročné náklady pri životnosti 13 rokov	- 714 230 Kčs

**b/ Prevádzkové náklady**

Mzdové náklady 9 pracovníkov za rok	- 918 054 Kčs
18 % sociálne náklady	- 165 250 Kčs
Režijné náklady celkovo	- 745 170 Kčs

**Celkové prevádzkové náklady za rok:**

$$N_{cl} = N_{Il} + N_{pl} = 2 542 534 \text{ Kčs}$$

**4.1.2 Náklady na izotermické žíhanie - navrhovaný spôsob**

**a/ Investičné náklady:**

Cena linky vrátane montáže	- 3 372 000 Kčs
Plocha na inštaláciu	- 230 m <sup>2</sup>
Cena 1 m <sup>2</sup> podlahy	- 1 800 Kčs
Stavebné náklady	- 41 400 Kčs
Náklady na zavedenie linky úlohou TR	- 1 000 000 Kčs
Celkové náklady na zavedenie technol.	- 3 773 400 Kčs
Životnosť zariadenia	- 13 rokov
Náklady na odpisy za rok	- 367 184 Kčs

**b/ Prevádzkové náklady:**

Náklady na mzdu	
počet robotníkov na 1 smenu	- 3
sменnosť	- 3
tarifná trieda R 5	- 9 Kčs.hod <sup>-1</sup>
priemerný nočný príplatok	- 0,66 Kčs.hod <sup>-1</sup>
príplatky za stažené prestredie	- 0,90 Kčs.hod <sup>-1</sup>
prémie 29 %	- 2,61 Kčs.hod <sup>-1</sup>
Náklady za mzdu za rok	- 688 540 Kčs

Náklady na sociálne dávky za rok brané 18 % zo mzdových nákladov	- 123 937 Kčs
Režijné náklady	
el. energia	- 520 309 Kčs
voda	- 6 821 Kčs
náklady na údržbu	- 3 000 Kčs
Spolu režijné náklady	- 530 130 Kčs

Prevádzkové náklady :

$$N_{p2} = N_{m2} + N_{a2} + N_{r2} = 1 342 607 \text{ Kčs}$$

Celkové náklady za rok :

$$N_{c2} = N_{I2} + N_{p2} = 1 709 791 \text{ Kčs}$$

Úspory nákladov pre tepelné spracovanie pri zavedení nového spôsobu:

$$U_1 = N_{c1} - N_{c2} = 832 743 \text{ Kčs}$$

Tieto úspory vzniknú najmä zrušením operácie zušľachťovania ako i skrátením procesu žíhania, lebo priebežná doba u žíhania na mäkké v peci ROC je 22 hodín a pri izotermickom žíhaní je 2,5 až 3 hodiny. Zlepšenie ekonomických ukazovateľov je ešte možné dosiahnuť zakladaním výkovkov do pece priamo po kovani, čím sa sníži spotreba elektrickej energie.

#### 4.2 Úspora na náradí

Úsporu na náradí je možné vypočítať podla Bekeša /2/, kde platí:

$$K_n = \frac{1}{K_v^m}, \quad (15)$$

$$\text{kde } K_v = \frac{K_{vE}}{K_{v0}}, \quad (16)$$

$$\text{pričom } K_{vz} = \frac{v_4}{v_{4et}} \quad (17)$$

$$K_{vo} = \frac{v_{4vo}}{v_{4et}} \quad (18)$$

kde po desadení dostaneme hodnoty :

$$K_{vo} = 0,624$$

$$K_{vz} = 0,9276$$

$$K_v = 1,486$$

$$K_n = 0,666$$

Teda úspora na náradí bude oproti obrábaniu pôvodného materiálu činiť 0,334 násobok. Ročná spotreba náradia na výrobu prevodoviek v Považských strojárňach čini 1 500 000 Kčs. Úspora v tomto prípade predstavuje hodnotu:

$$U_2 = 501 000 \text{ Kčs . rek}^{-1}$$

#### 4.3 Celková úspora

Celková úspora je súčasťou nákladov na zariadenie a úspory na výkone stroja a na vedľajších časoch spojených s častejšou výmenou náradia pri pôvodnom spôsobe v práci neuvádzam, ale je možné nimi ekonomický výsledok ešte zlepšiť.

Ročná úspora predstavuje hodnotu:

$$U = U_1 + U_2 = 1 333 743 \text{ Kčs}$$

Deba úhrady investičných nákladov a na TR bude:

$$T_{ur} = \frac{N_{I2} + N_{TR}}{U} = 3,27 \text{ roka}$$

Tento ukazovateľ je pre zabezpečenie investičných prostriedkov a zavedenie úlohy TR veľmi dôležitý a je možné technológiu v koncernovom podniku Považských strojárňach zaviesť.

## 5. ZÁVER

Hlavným zámeromí mojej práce bolo hodnotenie izotermického žíhania a vhodnosť navrhovaného spôsobu izotermického žíhania pre nasledovné mechanické opracovanie.

Pre posúdenie obrabiteľnosti som volil krátkodobé skúšky. Skrátenou metódou hodnotenia obrabiteľnosti je možné s dostatočnou presnosťou určiť triedu obrabiteľnosti pre jednotlivé druhy izotermického žíhania.

Posúdením štruktúry vznikajej pri jednotlivých druhoch izotermického žíhania, v náviednosti na skúšky obrabiteľnosti sa ukázalo, že najvhodnejším spôsobom izotermického žíhania je spôsob č. 1.

Tento spôsob spočíva v austenitizácii na teplote  $950^{\circ}\text{C}$  - 1 hodina s ochladením na vzduchu na teplotu  $400^{\circ}\text{C}$  a následnou perlitickej premenou na teplote  $650^{\circ}\text{C}$  - 1 hodina.

Pedla niektorých autorov je vhodnejšia pre obrábanie hruboarmá ťuktura. Skúšky, ktoré som previedol však toto nepetrvdili. Spôsoby izotermického žíhania, ktoré viedli k jemnoarmá ťuktura /spôsob č. 1 a 2/ ukázali lepšie výsledky pri skúškach obrabiteľnosti, ako všerky s hruboarmá ťuktúrou.

Zavedenie izotermického žíhania sa javí efektívne. I napriek vyššomu nákladom na zariadenie pre izotermické žíhanie, sa vplyvom vznikajej vhodnejšej ťuktury pre obrábanie dosiahne podstatné sníženie nákladov na mechanické opracovanie. Toto sníženie sa premetne jednak v mzdových nákladoch, použitím vyšších parametrov pri opracovaní a snížením nákladov na rezné nástroje.

Podľa najnovších správ z technickej literatúry sa doporučuje pri opracovaní výkovkov z cementačných ocelí použiť ako výhodnejšie tepelné spracovanie isotermické žíhanie. Na základe uvedeného sa javí vhodné pred opracovaním výkovkov z ocele 16 231 proviesť isotermické žíhanie podľa spôsobu č. 1, prípadne č. 2.

Dančin Janočko

## POUŽITÁ LITERATÚRA

- /1/ Paur, V.-Skočkovský, P.: Konštrukčné materiály
- /2/ Buda, J.-Bekeš, J.: Teoretické základy obrábania kovov,  
ALFA, Bratislava, 1977
- /3/ Přikryl, Z.-Musílková, R.: Teorie obrábění, SNTL, 1972
- /4/ Zima, L.: Prednáška - Některé aspekty vlivu tepelného  
zpracování na obrobitelnost nízkolegovaných  
ušlechtilých ocelí, Dom techniky SVTS,  
Bratislava, 1976
- /5/ Švec, S.: Rezné nástroje, ITP Praha, 1966
- /6/ Výskumná správa - SVÚM Praha, august 1975,  
č. 2 - 75 - 3345
- /7/ Výskumná správa - SVÚM Praha, november 1970,  
č. 2 - 70 - 2400
- /8/ Wanning, J.: Verfahrenstechnik des Isotermglümens,  
fy Aichelin, 1976
- /9/ Technická dokumentácia - ZEZ Praha, júl 1978,  
č. 132 - 1
- /10/ Technická dokumentácia - Degussa, 1976
- /11/ Technická dokumentácia - Aichelin, 1976
- /12/ Kalinin, Tichonov.: Termičeskaja obrabotka na vol'škom  
automobilnom zavode, Mitom č. 9,  
1973